

PROGRAMAÇÃO LINEAR POR PARTES
MÉTODO PRIMAL-DUAL

Edson de Paula Ferreira

Orientador: Hermano de M.F. Tavares

UNIVERSIDADE ESTADUAL DE CAMPINAS
FACULDADE DE ENGENHARIA
DEPARTAMENTO DE ENGENHARIA ELÉTRICA
DEZEMBRO DE 1978

UNICA
BIBLIOTECA CENTRAL

Agradeço

a todos os amigos que viveram o "outro lado"
da tese,

ao Rey, Akebo, Jurandir, Christiano, França,
Secundino, Raul, Anilton, Elieser, Dodô e
Niura pelo apoio,

ao Hermano, pela paciência.

SUMÁRIO

Desenvolvemos o método Primal-Dual para problemas cuja função objetivo a minimizar é convexa linear por partes, numa formulação baseada na dualidade segundo a teoria de Lagrange.

No capítulo 1 é feita uma nova caracterização do método Primal-Dual linear (DANTZIG, FORD, FULKERSON), e uma apresentação dos aspectos novos no tratamento de problemas lineares por partes.

No capítulo 2 apresentamos o problema linear por partes e fazemos o desenvolvimento do método em questão.

No capítulo 3 resolvemos um problema auxiliar pelo método primal linear por partes (YOUSDINE) adequado às características particulares do problema.

No capítulo 4 reparamos os métodos Primal e Dual Simplex linear por partes (GARCIA) e fazemos uma análise conjunta nos aspectos qualitativos relevantes dos três métodos em questão.

INDICE

CAPÍTULO 1 - INTRODUÇÃO

1.1 - Primal-Dual Linear	1.1
1.2 - Primal-Dual Linear por Partes	1.5

CAPÍTULO 2 - MÉTODO PRIMAL-DUAL LINEAR POR PARTES
(PROBLEMA PRINCIPAL, PP)

2.1 - Formulação do Problema	2.1
2.2 - O Problema Dual	2.4
2.3 - Obtenção da Derivada Direcional	2.9
2.4 - Condições de Optimalidade	2.14
2.5 - Solução Dual - Limites de Variação	2.16
2.6 - Mudança de Solução Dual - Busca Unidimensional	2.20
2.7 - A Nova Iteração	2.27
2.8 - Diagrama de Blocos - Problema Principal	2.29
2.9 - Diagrama de Blocos - Busca Unidimensional	2.32
2.10 - Diagrama de Blocos - Atualização de $\{ t_r \}$	2.34

CAPÍTULO 3 - OBTENÇÃO DA MÁXIMA DERIVADA DIRECIONAL
(PROBLEMA AUXILIAR, PA)

3.1 - Introdução	3.1
3.2 - O Problema	3.3

3.3	- O Algoritmo	3.5
3.4	- Condições de Optimalidade	3.7
3.5	- Mudança de Solução Básica - Acréscimo na Variável Independente	3.10
3.6	- Mudança de Solução Básica - Decréscimo na Variável Independente	3.17
3.7	- Diagrama de Blocos	3.19

CAPÍTULO 4 - ANÁLISE QUALITATIVA DE MÉTODOS ALTERNATIVOS

4.1	- Introdução	4.1
4.2	- PLP - Primal Simplex	4.5
4.3	- PLP - Dual Simplex	4.8
4.4	- Primal, Dual, Primal-Dual, Quadro Comparativo	4.12

APÊNDICE - (PAD) É O DUAL DE (PA)

BIBLIOGRAFIA

NOTAÇÃO

{ : } : denota conjunto

Conjuntos de índices usuais: Q , \bar{Q} , I , J

$A(m,n)$: Matriz, m linhas, n colunas

A^j : j -ésima coluna de A

A_i : i -ésima linha de A

A_i^j : Elemento de A

A^Q : Matriz, $\{A^j : j \in Q\}$

A^I : Matriz, $\{A^i : i \in I\}$, Base

$(A^I)^{-1}$: Inversa de A^I

I : Matriz Identidade (m,m)

Vetores - Letras minúsculas grifadas

$\underline{b}(m,1)$: Vetor coluna, m elementos

$\underline{c}(1,n)$: Vetor linha, n elementos

$\underline{\lambda}^i, \underline{p}^i$: Vetores i -ésima iteração

b_j, c_j : Elementos de \underline{b} e \underline{c} respectivamente

Vetores especiais: $\underline{x}_Q, \underline{d}_k^Q, \underline{c}_k^I$

Operações vetoriais: não especifica-se se o vetor é linha ou coluna

\underline{Ax} : Matriz A multiplicado pelo vetor \underline{x}

\underline{pA} : Vetor multiplicando matriz A

$\underline{e} \cdot \underline{y}$: Produto interno $\langle \underline{e}, \underline{y} \rangle$

Dimensões: Serão compatíveis com A, \underline{b} , \underline{c} nas operações e comparações.

$k = i, j$: Índice k variando de i até j

$[,]$: Denota intervalo fechado

\mathbb{R}^m : Espaço vetorial m dimensional, real

CAPÍTULO 1: INTRODUÇÃO

O objetivo básico deste trabalho é o desenvolvimento de um método primal-dual para problemas, cuja função a minimizar é convexa e linear por partes. A formulação do método é voltada para uma melhor caracterização de seus aspectos qualitativos e a análise de métodos alternativos.

1.1 - Primal-Dual Linear

Dado o problema:

$$\begin{aligned} \text{MINIMIZAR} \quad F(\underline{x}) &= \underline{c} \cdot \underline{x} \\ \text{s.a:} \quad \underline{A}\underline{x} &= \underline{b} \quad (\text{P}) \\ \underline{x} &\geq \underline{0} \end{aligned}$$

e seu dual

$$\begin{aligned} \text{MAXIMIZAR} \quad \phi(\lambda) &= \lambda \cdot \underline{b} \\ \text{s.a:} \quad \lambda \underline{A} &\leq \underline{c} \quad (\text{D}) \end{aligned}$$

Classicamente o método primal-dual é caracterizado como o que procede a partir de uma solução factível de (D), $\underline{\lambda}^0$, que, é "melhorada", a cada iteração, pela resolução de um problema primal restrito associado. Após um número finito de "melhoras", obtemos a solução ótima de (P) (SIMONNARD).

A idéia ao se desenvolver o método primal-dual, foi a de atingir, numa única fase, a factibilidade e a optimidade; daí a construção do problema primal restrito ser feita sobre estes dois aspectos:

- Factibilidade:

É procurada como na fase inicial do algoritmo Simplex, acrescentando-se as variáveis artificiais \underline{y} , que são penalizadas numa função objetivo, obtendo-se:

$$\text{MINIMIZAR } h(\underline{y}) = \underline{c} \cdot \underline{y} \quad \underline{c} > 0$$

$$\text{s.a: } A\underline{x} + \underline{y} = b$$

$$\underline{y} \geq 0, \quad \underline{x} \geq 0$$

onde \underline{c} pondera as componentes de \underline{y} .

- Optimidade:

É assegurada de acordo com o teorema das folgas complementares:

Teorema das Folgas Complementares: Sendo \underline{x}^* e $\underline{\lambda}^*$ soluções factíveis de (P) e (D), respectivamente, elas também serão ótimas se:

$$(\underline{c} - \underline{\lambda}^* A) \underline{x}^* = 0 \quad (1.1)$$

Na i -ésima iteração, estando numa solução factível de (D), $\underline{\lambda}^i$, e definindo:

$$Q = \{j: \underline{\lambda}^i A^j = c_j\} \quad (1.2)$$

As variáveis x_j ficam divididas em dois conjuntos, \underline{x}_Q e $\underline{x}_{\bar{Q}}$. Fazendo:

$$\underline{x}_{\bar{Q}} = 0 \quad (1.3)$$

(1.1) é satisfeita para todo x_j .

Assim o problema primal restrito associado, que denominaremos Problema Auxiliar, fica definido como:

$$\text{MINIMIZAR } h(\underline{y}) = \underline{c} \cdot \underline{y} \quad \underline{c} > 0$$

$$\text{s.a: } A^Q \underline{x}_Q + \underline{y} = \underline{b} \quad (\text{PA})$$

$$\underline{y} \geq 0, \quad \underline{x}_Q \geq 0$$

Sendo (PA) resolvido pelo algoritmo Simplex e $(\underline{x}_Q^*, \underline{y}^*)$ sua solução ótima, se $\underline{y}^* = 0$, $(\underline{x}_Q^*, \underline{x}_{\bar{Q}})$ é factível de (P) e satisfaz (1.1); pelo teorema das folgas complementares, $(\underline{x}_Q^*, \underline{x}_{\bar{Q}})$ é ótimo de (P).

Se $\underline{y}^* \neq 0$, sendo \underline{u}^* o vetor multiplicador associado à solução ótima de (PA), modificamos a solução de (D), $\underline{\lambda}^i$, de acordo com:

$$\underline{\lambda}^{i+1} = \underline{\lambda}^i + t \underline{u}^*$$

onde t é tal que a factibilidade de (D) seja preservada.

Factibilidade de (P): se $\underline{u}^* A^j < 0$ para todo $j \in \bar{Q}$, t pode crescer arbitrariamente e $\phi(\lambda) \rightarrow \infty$, então (P) não tem solução factível.

Com a caracterização do método acima descrito, não podemos inferir uma qualidade a \underline{u}^* , além da simples verificação de que $\phi(\lambda)$ cresce segundo \underline{u}^* , o que ocorre para qualquer solução factível do problema dual de (PA), do qual \underline{u}^* é solução ótima:

$$\text{MAXIMIZAR } \psi(\underline{u}) = \underline{u}^T \underline{b}$$

$$\text{s.a: } \underline{u}^T \underline{A}^Q \leq \underline{0} \quad (\text{PAD})$$

$$\underline{u} \leq \underline{e}$$

Para uma melhor caracterização do método, adotamos então o seguinte critério:

A partir de $\underline{\lambda}^0$, solução factível de (D), a cada iteração, mantendo a factibilidade de (D), mudamos de solução segundo a direção de máximo crescimento de $\phi(\lambda)$.

Desta maneira, o desenvolvimento do método transcorre "naturalmente", aparecendo (PAD) na procura da direção de máximo crescimento de $\phi(\lambda)$. Operacionalmente, resolvemos o seu dual (PA) pelo método primal linear Simplex e com o seu vetor multiplicador ótimo \underline{u}^* , fazemos a "melhor" implementação na solução do dual ($\underline{\lambda}^i$).

1.2 - Primal-Dual Linear por Partes

Dado o problema:

$$\begin{aligned} \text{MINIMIZAR} \quad F(\underline{x}) &= \sum_{j=1}^n f_j(x_j) \\ \text{s.a:} \quad A\underline{x} &= \underline{b} \\ &\underline{\alpha} \leq \underline{x} \leq \underline{\beta} \end{aligned} \tag{P}$$

- $A(m,n)$ de "rank" m , $f_j(x_j)$ convexa linear por partes.

O seu dual é:

$$\begin{aligned} \text{MAXIMIZAR} \quad \phi(\underline{p}) \\ \underline{p} \in \mathbb{R}^m \end{aligned} \tag{D}$$

- $\phi(\underline{p})$ convexa, linear por partes, definida para todo \underline{p} .

Como alguns aspectos novos na abordagem do problema linear por partes, podemos citar:

- A dualidade é estabelecida em termos da teoria de Lagrange (LARDON).
- Podemos inicializar a otimização com um \underline{p} arbitrário.

- No problema auxiliar, a penalização das variáveis artificiais é feita segundo:

$$h(\underline{y}) = \sum_{j=1}^m e_j |y_j| \quad e > 0$$

do que resulta \underline{y} irrestrito e o problema auxiliar linear por partes.

- Na análise de otimalidade o teorema das folgas complementares é generalizado para:

\underline{x}^* e \underline{p}^* , soluções factíveis de (P) e (D) respectivamente, são ótimas se \underline{x}^* minimiza a função Lagrangeano $L(\underline{x}, \underline{p}^*)$.

- Sendo separável a minimização do Lagrangeano, definimos "curva de otimalidade" associada à variável x_j , $(CO)_j$, como o lugar geométrico dos pontos (x_j, p_{A^j}) que minimizam $L(\underline{x}, \underline{p})$.

- Introduzimos a norma "retangular"

$$\|\underline{u}\| = \text{MÍNIMO } \left\{ q: -qe \leq \underline{u} \leq qe, \quad e > 0, \quad q > 0 \right\}$$

que permitiu formalizar a direção de máxima taxa de crescimento de $\phi(\underline{p})$, como de "derivada direcional" máxima.

- Na mudança de solução dual, $\underline{p}^{i+1} = \underline{p}^i + t\underline{u}^*$, a obtenção de t corresponde a uma busca unidimensional em $\phi(\underline{p})$ (linear por partes), cujo critério de parada envolve não mais a dual factibilidade, mas o crescimento contínuado de $\phi(\underline{p})$ com t .

- Estruturalmente, dividimos o método em duas partes denominadas Problema Principal (PP) e Problema Auxiliar (PA). Sendo:

(PP) - Busca Unidimensional, obtém nova solução \underline{p}^{i+1} .

(PA) - Algoritmo Primal, obtém direção de máximo crescimento \underline{u}^* .

(PA) (PP)

$$\underline{P}^0 \xrightarrow{\quad} \underline{u}^k \xrightarrow{\quad} \underline{P}^{i+1} = \underline{P}^i + t \underline{u}^k$$

\uparrow

- Podemos então caracterizar o método como do tipo STEEPEST-
 - DESCENT ou "GRADIENTE ÓTIMO", para problemas lineares por partes.

- Se o problema (P) tem solução factível, o ótimo será uma solução tipo (a) e nunca tipo (b), porque as restrições definem um conjunto compacto (fechado e limitado); caso contrário a infactibilidade é detectada.

CAPÍTULO 2: MÉTODO PRIMAL-DUAL LINEAR POR PARTES
(PROBLEMA PRINCIPAL, PP)

2.1 - Formulação do Problema

Uma função convexa linear por partes, pode ser formalmente definida por:

$$F(\underline{x}) = \max_{i \in I} \ell_i(\underline{x})$$

com $\ell_i(\underline{x}) = \underline{h}_i^T \underline{x} + h_i$, i-ésima linha do sistema linear:

$$\underline{\ell}(\underline{x}) = \underline{H}\underline{x} + \underline{h}$$

A programação linear por partes consiste no conjunto de métodos para o cálculo do mínimo duma função convexa linear por partes, definida num poliedro convexo.

Nosso problema pode então ser caracterizado genericamente por:

$$\min F(\underline{x})$$

$$\text{s.a: } \underline{G}(\underline{x}) \leq \underline{0}$$

$$\underline{A}\underline{x} = \underline{b}$$

$$\underline{\alpha} \leq \underline{x} \leq \underline{\beta}$$

Neste trabalho abordaremos a formulação particular:

Determine o valor de \underline{x} que resolve,

$$\text{MIN } F(\underline{x}) = \sum_{i=1}^n f_j(x_j) \quad (P)$$

$$\text{s.a: } Ax = b$$

$$\underline{\alpha} \leq \underline{x} \leq \underline{\beta}$$

sendo:

- $f_j(x_j)$ convexa linear por partes.
- $A (m, n)$; $b (m, 1)$; $\underline{x}, \underline{\alpha}, \underline{\beta} (n, 1)$.
- a matriz $A (m, n)$ de "rank" m.
- (P) denominado Primal.

Representamos graficamente as $f_j(x_j)$:

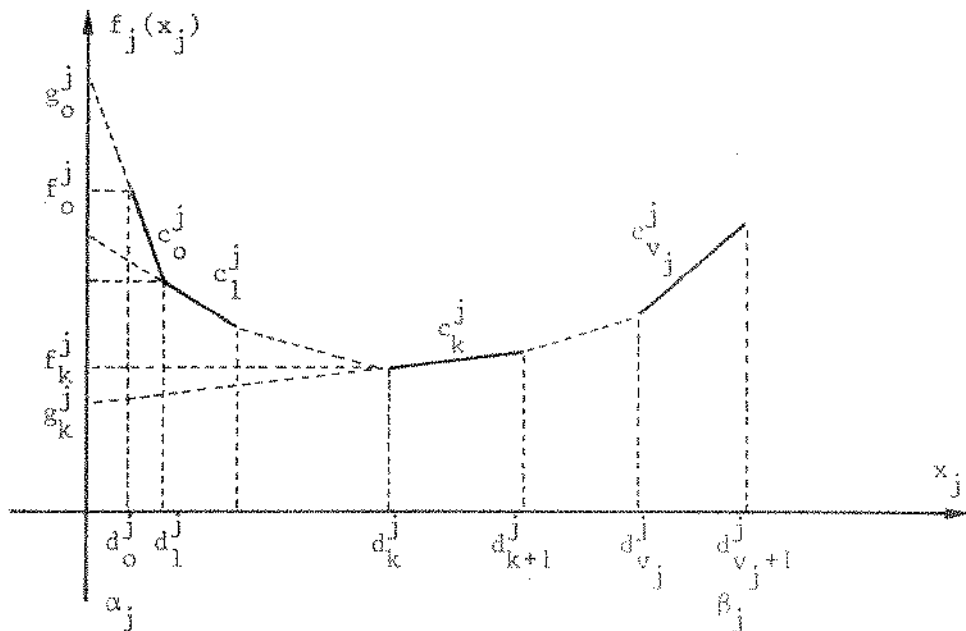


Figura 2.1

Na figura 2.1:

- v_j determina o número de intervalos lineares segundo x_j .
- c_k^j é a inclinação do intervalo de ordem k .
- d_k^j é o ponto crítico de $f_j(x_j)$, limite inferior do intervalo de ordem k .

Sendo $f_0^j = f_j(d_0^j)$, para $k = 1, v_j + 1$:

$$f_k^j = c_{k-1}^j (d_k^j - d_{k-1}^j) + f_{k-1}^j \quad (2.1)$$

Escrevemos para x_j no intervalo $[d_k^j, d_{k+1}^j]$, $k = 0, v_j$:

$$f_j(x_j) = c_k^j (x_j - d_k^j) + f_k^j \quad (2.2)$$

Sendo,

$$g_k^j = f_k^j - c_k^j d_k^j \quad (2.3)$$

obtemos para $x_j \in [d_k^j, d_{k+1}^j]$, $k = 0, v_j$:

$$f_j(x_j) = c_k^j x_j + g_k^j \quad (2.4)$$

Na figura 2.1:

- v_j determina o número de intervalos lineares segundo x_j .
- c_k^j é a inclinação do intervalo de ordem k .
- d_k^j é o ponto crítico de $f_j(x_j)$, limite inferior do intervalo de ordem k .

Sendo $f_0^j = f_j(d_0^j)$, para $k = 1, v_j + 1$:

$$f_k^j = c_{k-1}^j (d_k^j - d_{k-1}^j) + f_{k-1}^j \quad (2.1)$$

Escrevemos para x_j no intervalo $[d_k^j, d_{k+1}^j]$, $k = 0, v_j$:

$$f_j(x_j) = c_k^j (x_j - d_k^j) + f_k^j \quad (2.2)$$

Sendo,

$$g_k^j = f_k^j - c_k^j d_k^j \quad (2.3)$$

obtemos para $x_j \in [d_k^j, d_{k+1}^j]$, $k = 0, v_j$:

$$f_j(x_j) = c_k^j x_j + g_k^j \quad (2.4)$$

Definindo,

$$z_j = \underline{p} A^j \quad (2.6)$$

z_j denominado inclinação de referência, reescrevemos (2.5):

$$L(\underline{x}, \underline{p}) = \underline{p} b + \sum_{j=1}^n (f_j(x_j) - z_j x_j) \quad (2.7)$$

A função dual é definida por:

$$\phi(\underline{p}) = \underset{\alpha \leq x \leq \beta}{\text{MINIMO}} L(\underline{x}, \underline{p}) \quad (2.8)$$

No decorrer do trabalho, mostramos que $\phi(\underline{p})$ é côncava, linear por partes, definida para todo \underline{p} em \mathbb{R}^m .

Definindo:

$$Q = \left\{ j : z_j = c_k^j \text{ para algum } k \in \{0, \dots, v_j\} \right\} \quad (2.9)$$

$$\bar{Q} = \{1, \dots, n\} - Q$$

Podemos escrever \bar{Q} como a união dos conjuntos abaixo:

- $j: c_{k+1}^j < z_j < c_k^j \quad \text{para algum } k \in \{1, \dots, v_j\}$
- $j: z_j < c_o^j$ (2.10)
- $j: z_j > c_{v_j}^j$

(*) Note que a partição $\{\bar{Q}, Q\}$ é função do p em questão.

No cálculo da função dual, a minimização em (2.8) é separável conforme:

- $j \in \bar{Q}$

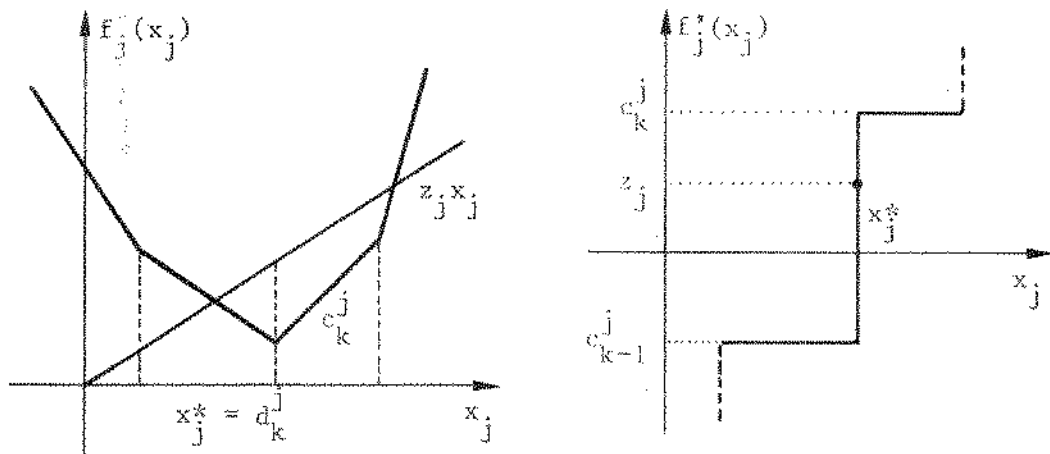


Figura 2.3

$(f_j(x_j) - z_j x_j)$ tem seu mínimo em $x_j^* = d_k^j$

Se $z_j < c_o^j$ ou $z_j > c_{v_j}^j$, o mínimo ocorrerá respectivamente em $x_j = \alpha_j$ ou $x_j = \beta_j$.

- $j \in Q$

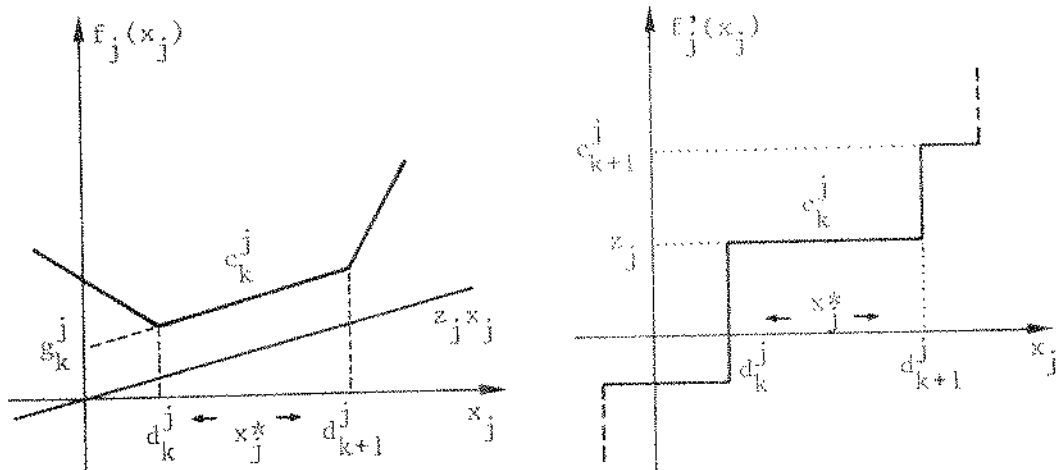


Figura 2.4

$(f_j(x_j) - z_j x_j)$ tem seu mínimo igual a g_k^j em qualquer ponto do intervalo $[d_k^j, d_{k+1}^j]$.

Do exposto acima concluímos que, calculado z_j para dado p, x_j que optimiza o Lagrangeano é o correspondente a z_j sobre a curva de optimidade abaixo:

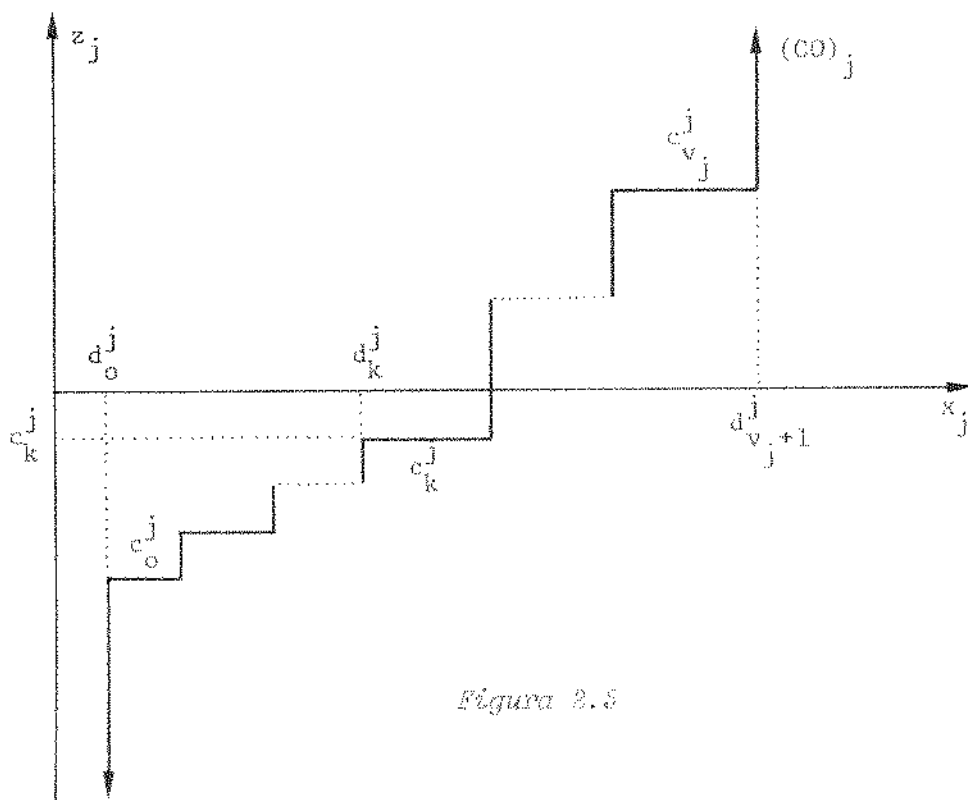


Figura 2.5

Obtemos o valor da função dual:

$$\phi(\underline{p}) = \underline{p} \cdot \underline{b} + \sum_{j \in \bar{Q}} (f_j(d_k^j) - z_j d_k^j) + \sum_{j \in Q} g_k^j \quad (2.11)$$

O problema dual é definido por:

$$\begin{array}{ll} \text{MAX} & \phi(\underline{p}) \\ \underline{p} & \end{array} \quad (2.12)$$

Como $\phi(\underline{p})$ é obtida numa minimização em \underline{x} canalizada, $\phi(\underline{p})$ existe para qualquer \underline{p} finito.

Resulta o problema dual:

$$\begin{array}{ll} \text{MAX} & \underline{p} \cdot \underline{b} + \sum_{j \in \bar{Q}} (f_j(d_k^j) - z_j d_k^j) + \sum_{j \in Q} g_k^j \\ \underline{p} & \end{array} \quad (D)$$

\underline{p} qualquer

2.3 - Obtenção da Derivada Direcional

Considerando (P) e (D) definidos anteriormente.

Como (P) é convexo não há intervalo de dualidade entre o "par dual". Se \underline{x}^* e \underline{p}^* são as respectivas soluções ótimas, então $F(\underline{x}^*) = \phi(\underline{p}^*)$.

Começamos nossa abordagem pelo problema dual, com uma solução arbitrária \underline{p}^0 . (D) irrestrito.

A partir de \underline{p}^0 temos que tentar aumentar $\phi(\underline{p})$. Se não for possível, \underline{p}^0 é ótimo, se for, vamos procurar fazê-lo na direção que fornece máxima derivada direcional.

A derivada direcional em questão refere-se à norma "retangular":

$$\|\underline{u}\| = \min \left\{ q : -qe \leq \underline{u} \leq qe \quad , \quad e \geq 0 \quad , \quad q \geq 0 \right\}$$

Seja $\underline{p} = \underline{p}^0 + t\underline{u}$, onde:

- t é suficientemente pequeno.

- $\|\underline{u}\| = 1$.

- \underline{z}_j , \bar{Q} e Q são relativos a \underline{p}^0 .

Escrevemos o Lagrangeano de (P) em $\underline{p}^0 + t\underline{u}$:

$$\begin{aligned}
 L(\underline{x}, \underline{p}^0 + t\underline{u}) &= (\underline{p}^0 + t\underline{u})_b + \sum_{j \in Q} \left\{ f_j(x_j) - (\underline{p}^0 + t\underline{u}) A^j x_j \right\} + \\
 &+ \sum_{j \in Q} \left\{ f_j(x_j) - (\underline{p}^0 + t\underline{u}) A^j x_j \right\} \tag{2.13}
 \end{aligned}$$

Supondo que \bar{Q} não seja alterado (primeira restrição a t):

$$\begin{aligned} \phi(\underline{p}^0 + tu) &= (\underline{p}^0 + tu)\underline{b} + \sum_{j \in Q} \left\{ f_j(d_k^j) + (\underline{p}^0 + tu)^j d_k^j \right\} + \\ &+ \underset{\alpha_Q \leq x_Q \leq \beta_Q}{\text{MINIMO}} \sum_{j \in Q} \left\{ f_j(x_j) - (\underline{p}^0 + tu)^j x_j \right\} \quad (2.14) \end{aligned}$$

A minimização em (2.14) é separável, definindo para $j \in Q$:

$$w_j = \underline{u}^{A^j} \quad (2.15)$$

$$Q_1 = \{j : w_j = 0\} \quad (2.16)$$

$$Q_2 = \{j : w_j > 0\} \quad (2.17)$$

$$Q_3 = \{j : w_j < 0\} \quad (2.18)$$

Assim, considerando

$$\underset{\alpha_Q \leq x_Q \leq \beta_Q}{\text{MINIMO}} \quad f_j(x_j) = (z_j + tw_j)x_j \quad (2.19)$$

- Se $j \in Q_1$, z_j não se altera e $x_{Q_1}^*$ continua livre no intervalo

$$[d_k^{Q_1}, d_{k+1}^{Q_1}] \quad (\text{figura 2.4}).$$

- Se $j \in Q_2$, z_j aumenta e o valor $x_j^* = d_{k+1}^j$ minimiza em 2.19.

Graficamente:

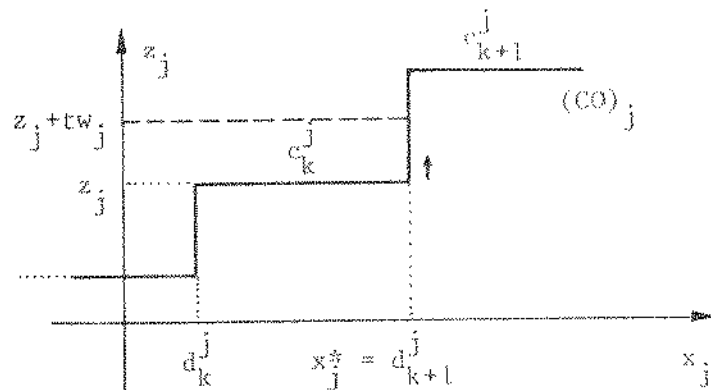


Figura 2.6

Supomos que z_j não ultrapasse c_{k+1}^j (segunda restrição a t).

- Se $j \in Q_3$, z_j diminui e o valor $x_j^* = d_k^j$ minimiza em 2.19. Graficamente:

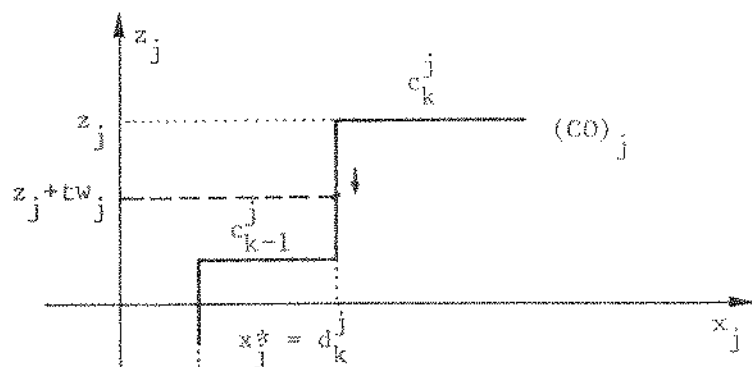


Figura 2.7

Supomos que z_j não ultrapasse c_{k-1}^j (terceira restrição a t).

Assim a equação (2.19) resulta em:

$$g_k^j + \sum_{j \in Q_1} \left\{ g_k^j - t_u A^j d_{k+1}^j \right\} + \sum_{j \in Q_3} \left\{ g_k^j - t_u A^j d_k^j \right\} \quad (2.20)$$

Substituindo (2.20) em (2.14):

$$\begin{aligned} \phi(\underline{p}^o + t_u) &= \underline{p}^o b + \sum_{j \in \bar{Q}} \left\{ f_j(d_k^j) - p^o A^j d_k^j \right\} + \sum_{j \in Q} g_k^j + \\ &+ t_u b - \sum_{j \in \bar{Q}} t_u A^j d_k^j - \sum_{j \in Q_2} t_u A^j d_{k+1}^j + \\ &- \sum_{j \in Q_3} t_u A^j d_k^j \end{aligned} \quad (2.21)$$

$$\phi(\underline{p}^o + t_u) = \phi(\underline{p}^o) + t_u(b - A \frac{\bar{Q}}{Q} \bar{d}_k - A \frac{Q_2}{Q} d_{k+1}^2 - A \frac{Q_3}{Q} d_k^3) \quad (2.22)$$

$$\frac{\phi(\underline{p}^o + t_u) - \phi(\underline{p}^o)}{t} = t_u(b - A \frac{\bar{Q}}{Q} \bar{d}_k - A \frac{Q_2}{Q} d_{k+1}^2 - A \frac{Q_3}{Q} d_k^3) \quad (2.23)$$

Considerando (2.23), definimos como a derivada direcional de $\phi(p)$ na direção \underline{u} :

$$\psi(\underline{u}) = \underline{u}(\underline{b} - A \frac{\bar{Q}}{d_k} - A \frac{Q_2}{d_{k+1}} - A \frac{Q_3}{d_k}) \quad (2.24)$$

Verifica-se que para \underline{u} , \bar{Q} , Q_1 , Q_2 e Q_3 definidos como anteriormente, $\psi(\underline{u})$ é solução do problema:

$$\psi(\underline{u}) = \underset{\substack{\underline{d}_k^Q \leq \underline{x}_Q \leq d_{k+1}^Q}}{\text{MINIMO}} \left\{ \underline{u}(\underline{b} - A \frac{\bar{Q}}{d_k} - A \frac{Q_2}{d_{k+1}}) \right\} \quad (2.25)$$

Para acharmos a direção que fornece a "máxima" derivada direcional, resolvemos:

$$\begin{aligned} &\text{MAXIMIZAR} && \psi(\underline{u}) \\ &\|\underline{u}\| = 1 \end{aligned}$$

Nosso problema resulta em:

$$\begin{aligned} &\text{MAX}_{\underline{u}} \left\{ \underset{\underline{x}_Q}{\text{MIN}} \left\{ \underline{u}(\underline{b} - A \frac{\bar{Q}}{d_k} - A \frac{Q_2}{d_{k+1}}) \right\} \right\} \\ &\text{(PAD)} \end{aligned}$$

$$\text{s.a: } \|\underline{u}\| = 1$$

$$\underline{d}_k^Q \leq \underline{x}_Q \leq d_{k+1}^Q$$

Prova-se no Apêndice 1 que o problema anterior (PAD) é o dual de:

$$\text{MIN } h(\underline{y}) = \sum_{j=1}^m e_j |y_j| \quad (\text{PA})$$

$$\text{s.a: } A^Q \underline{x}_Q + \underline{y} = b - A^{\bar{Q}} \bar{d}_k^Q$$

$$d_k^Q \leq \underline{x}_Q \leq d_{k+1}^Q$$

denominado Problema Auxiliar de (P).

2.4 - Condições de Optimalidade

Seja $(\bar{d}_k^Q, \underline{x}_Q^*, \underline{y}^*)$ solução ótima do (PA):

Se $\underline{y}^* = 0$, então $(\bar{d}_k^Q, \underline{x}_Q^*)$ é solução ótima de (P)

(P) corresponde a minimizar $F(\underline{x})$ sujeito às restrições:

$$- A^Q \underline{x}_Q = b - A^{\bar{Q}} \bar{d}_k^Q$$

$$- \underline{\alpha} \leq \underline{x} \leq \beta$$

Se $\underline{y}^* = 0$ obviamente $(\bar{d}_k^Q, \underline{x}_Q^*)$ é factível de (P).

Sendo $\underline{h}(\underline{y}^*) = 0$ e se \underline{u}^* é solução ótima de (PAD):

$$\psi(\underline{u}^*) = 0$$

ou

$$\frac{\phi(\underline{p}^* + t\underline{u}^*) - \phi(\underline{p}^*)}{t} = 0$$

onde \underline{p}^* é a solução do dual (D) correspondente a $(\underline{d}_k^Q, \underline{x}_Q^*)$.

Concluímos que:

$$\phi(\underline{p}^* + t\underline{u}^*) = \phi(\underline{p}^*)$$

onde \underline{u}^* é a direção de máximo crescimento. Podemos então dizer que para \underline{u} arbitrário:

$$\phi(\underline{p}^* + t\underline{u}) < \phi(\underline{p}^*)$$

onde \underline{p}^* é um máximo local de $\phi(\underline{p})$. Como $\phi(\underline{p})$ é côncava, \underline{p}^* é máximo global. A solução correspondente \underline{x}^* , é ótima do primal (P).

Concluindo:

- Se $\underline{y}^* = \underline{0}$, o problema em questão (P) está resolvido.
- Se $\underline{y}^* \neq \underline{0}$, calculamos \underline{u}^* , direção de máxima derivada direcional, e alteramos \underline{p} na direção \underline{u}^* :

$$\underline{p}^{i+1} = \underline{p}^i + t\underline{u}^* \quad (2.26)$$

(*) i-ésima iteração.

A função $\phi(\underline{p})$ realmente cresce na direção \underline{u}^* . Sendo $\underline{y}^* \neq 0$:

$$\psi(\underline{u}^*) = \sum_{j=1}^m e_j |y_j^*| > 0$$

então

$$\phi(\underline{p}^i + t\underline{u}^*) - \phi(\underline{p}^i) = t\psi(\underline{u}^*) > 0$$

e

$$\phi(\underline{p}^{i+1}) > \phi(\underline{p}^i) \quad (2.27)$$

(*) Para t conveniente.

2.5 - Solução Dual - Limites de Variação

Fazemos um spanhado das restrições impostas a t , a fim de determinar a amplitude do intervalo de variação de \underline{p} na direção \underline{u}^* , no qual o desenvolvimento anterior é válido.

- Primeira restrição

\overline{Q} não se altera. Temos que garantir que as restrições (2.10) não sejam violadas. \overline{Q} é alterado com a ocorrência de uma das situações abaixo:

$$- w_j > 0 \quad \text{e} \quad z_j + tw_j = c_k^j$$

$$- w_j < 0 \quad \text{e} \quad z_j + tw_j = c_{k-1}^j$$

com $k \in \{0, \dots, v_j + 1\}$.

Graficamente:

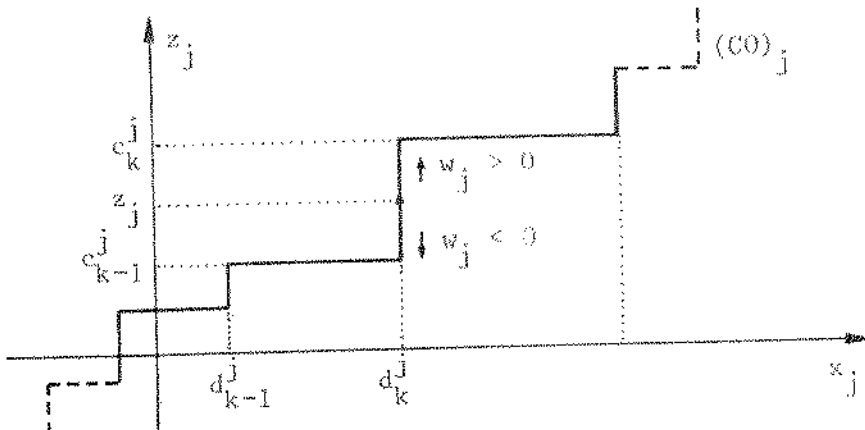


Figura 2.6

Para este caso definimos então os limites de t :

$$t(j) = \frac{c_k^j - z_j}{w_j} , \quad w_j > 0 , \quad k \in \{0, \dots, v_j\} \quad (2.28)$$

$$t(j) = \frac{c_{k-1}^j - z_j}{w_j} , \quad w_j < 0 , \quad k \in \{1, \dots, v_j+1\} \quad (2.29)$$

Segunda restrição

Para $j \in Q$ e $w_j > 0$, temos que manter $z_j < c_{k+1}^j$.

$$t(j) = \frac{c_{k+1}^j - c_k^j}{w_j} , \quad k \in \{0, \dots, v_j-1\} \quad (2.30)$$

- Terceira restrição

Para $j \in Q$, $w_j < 0$ temos que manter $z_j > c_{k-1}^j$.

$$t(j) = \frac{c_{k-1}^j - c_k^j}{w_j}, \quad k \in \{1, \dots, v_j\} \quad (2.31)$$

Graficamente:

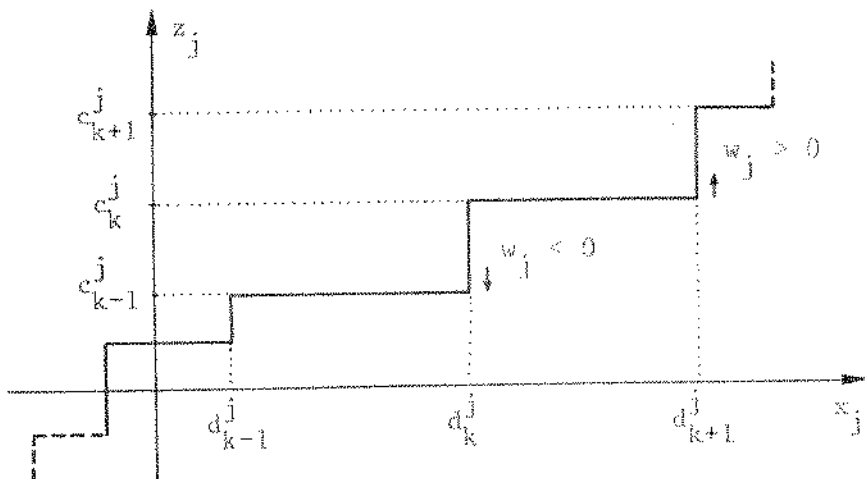


Figura 2.9

Sendo t^* a amplitude do intervalo em questão:

$$t^* = \min_j \{ t(j) \}$$

Note que na definição de $t(j)$ para cada caso, se estamos em alguma extremidade do intervalo de variação de x_j , conforme o sinal de w_j , t não é limitado, isto é, podemos crescerlo arbitrariamente. São os casos:

- $j \in \bar{Q}$:

$$w_j > 0 \quad \text{e} \quad k = v_j + 1 \quad (x_j = \beta_j)$$

$$w_j < 0 \quad \text{e} \quad k = 0 \quad (x_j = \alpha_j)$$

- $j \in Q$:

$$w_j > 0 \quad \text{e} \quad k = v_j$$

$$w_j < 0 \quad \text{e} \quad k = 0$$

(*) $j \in \bar{Q}$, k refere-se a ponto crítico.

$j \in Q$, k refere-se a inclinação.

Definimos:

$$t(j) = \infty \tag{2.32}$$

Graficamente:

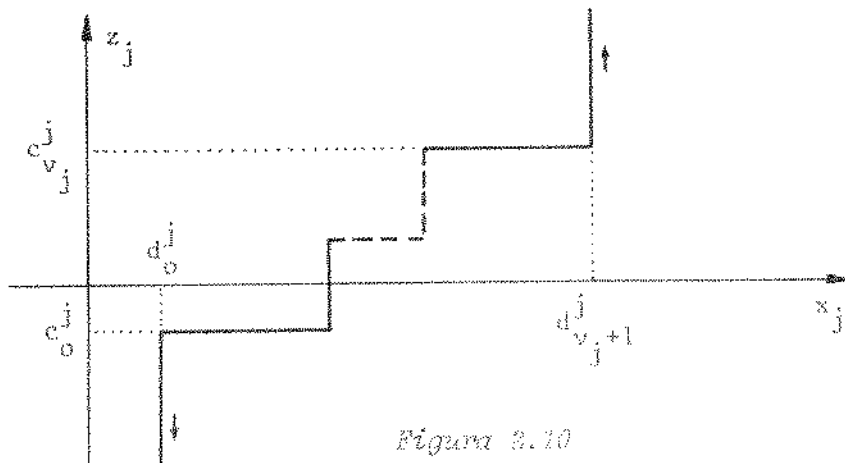


Figura 2.10

Assim, se $\{j : t(j) \text{ é definido}\}$ for vazio, $t^* = \infty$ e o valor da função dual cresce arbitrariamente pois:

$$\phi(\underline{p}^i + t\underline{u}^*) - \phi(\underline{p}^i) = t\psi(\underline{u}^*)$$

onde t pode ser feito arbitrariamente grande. Concluímos que o problema primal NÃO TEM SOLUÇÃO FÁCIL (LASDON).

2.6 - Mudança de Solução Dual - Busca unidimensional

Até agora caminhamos na direção \underline{u}^* até atingirmos o limite t^* , garantindo o crescimento de $\phi(\underline{p})$. Com a nova solução do dual obtida, voltaríamos ao (PP), atualizariam os \bar{Q} e $\bar{\bar{Q}}$..., e calcularíamos a derivada direcional máxima nesta nova "face", resolvendo outro (PA). Antes disso, vamos considerar a possibilidade de, ultrapassando t^* , $\phi(\underline{p})$ continuar crescendo segundo \underline{u}^* . Assim procedemos a uma busca unidimensional de maneira que nesta iteração, a nova solução do dual seja

$$\underline{p}^{i+1} = \underline{p}^i + t_s \underline{u}^*$$

com t_s obtido de:

$$\underset{t>0}{\text{MAX}} \quad \phi(\underline{p}^i + t\underline{u}^*)$$

Através da ordenação crescente dos elementos $t(j)$, construiremos a sequência:

$$\{t_r\}$$

dos consecutivos limites de t .

Denominamos p_r a solução do dual obtida quando t atinge o r -ésimo limite. Assim:

$$p_1 = p^1 + t_1 u^* \quad (2.33)$$

$$p_{r+1} = p_r + (t_{r+1} - t_r) u^*$$

Logicamente, nesta busca unidimensional a referência z é modificada segundo $p^1 + t u^*$ e temos que, sucessivamente, ir mudando o valor de x de maneira que os pontos (x_j, z_j) estejam sobre as respectivas curvas de optimidade.

Temos que:

$$x_j = d_k^j \quad \text{se } j \in Q$$

$$x_j \in [d_k^j, d_{k+1}^j] \quad \text{se } j \in Q$$

Resolvendo (PA), calculado u^* , se dermos um ligeiro acréscimo em t , Q se divide em Q_1 , Q_2 e Q_3 de modo que:

$$x_j \in [d_k^j, d_{k+1}^j] \quad \text{se } j \in Q_1$$

$$x_j = d_{k+1}^j \quad \text{se } j \in Q_2$$

$$x_j = d_k^j \quad \text{se } j \in Q_3$$

Fazemos para $j \in Q_2$ uma atualização em k tal que:

$$\text{NOVO } k = k+1 \quad (2.34)$$

Assim para $j \in \bar{Q}$, $Q_2 \in Q_3$, $x_j = d_k^j$.

Fazemos uma primeira atualização nos conjuntos Q e \bar{Q} definindo:

$$\text{NOVO } Q = Q_1$$

(2.35)

$$\text{NOVO } \bar{Q} = \bar{Q} + Q_2 + Q_3$$

Crescendo o valor de t , atingindo t_r , para algum j , z_j iguala algum c_k^j , donde $x_j \in [d_r^j, d_{r+1}^j]$ com:

$$t = k \quad \text{se } j \in \bar{Q} \quad \text{e} \quad w_j > 0$$

$$t = k+1 \quad \text{se } j \in \bar{Q} \quad \text{e} \quad w_j < 0$$

(*) No intervalo de ordem k , k refere-se ao limite inferior do intervalo ou à sua inclinação.

Se t_r é ultrapassado ligeiramente, x_j muda para:

$$x_j = d_{k+1}^j \quad j \in \bar{Q} \quad , \quad w_j > 0$$

(2.37)

$$x_j = d_{k-1}^j \quad j \in \bar{Q} \quad , \quad w_j < 0$$

Assim podemos escrever que a cada limite t_r "ultrapassado", para o correspondente $j \in \bar{Q}$, k é atualizado de modo que:

$$\text{NOVO } k = \gamma = k + \text{SIGN}(w_j) \quad (2.38)$$

Atualizado k , para a variável x_j , calculamos novo limitante (se ele existir), que é convenientemente inserido na sequência $\{t_r\}$.

Atingido t_s , ótimo na direção \underline{u}^* , a atualização de k é feita conforme (2.36).

Procedemos agora ao cálculo de t_s , na busca unidimensional propriamente dita, o que corresponde a achar o elemento da sequência $\{t_r\}$ além do qual não se verifica crescimento em $\phi(p)$. Definimos:

$$\bar{b} = b - A_d^Q \bar{d}_k^Q \quad (2.39)$$

Inicialmente, quando $t < t_1$, temos a taxa de crescimento (derivada direcional máxima):

$$\psi(\underline{u}^*) = \underline{u}^* \bar{b}$$

Se ultrapassarmos t_1 , \bar{b} é alterado de acordo com a modificação no x_j correspondente a t_1 , e para cada \bar{b} atualizado, este permanece constante entre dois limites consecutivos de t .

Supondo atingido p_r , sendo x_{jr} a variável correspondente, dando um pequeno acréscimo (ξ) a t , obtemos:

$$p = p_r + \xi \underline{u}^*$$

Definindo:

$$\bar{R} = \bar{Q} - \{j_r\}$$

escrevemos o valor da função dual:

$$\phi(\underline{p}) = \underline{p} \cdot \underline{b} + \sum_{j \in \bar{R}} \left\{ f_j(d_k^j) - p^{A,j} d_k^j \right\} + f_{j_r}(d_Y^{j_r}) - p_r^{A,j_r} d_Y^{j_r} + \sum_{j \in Q} g_k^{j_r}$$

$$\phi(p_r) = p_r \underline{b} + \sum_{j \in \bar{R}} \left\{ f_j(d_k^j) - p_r^{A,j} d_k^j \right\} + f_{j_r}(d_k^{j_r}) - p_r^{A,j_r} d_k^{j_r} + \sum_{j \in Q} g_k^{j_r}$$

No limite t_r , j_r deixa o conjunto \bar{Q} , daí $p_r^{A,j_r} = c_k^{j_r}$ e $g_k^{j_r}$ é constante no intervalo $[d_T^{j_r}, d_{T+1}^{j_r}]$. Dende:

$$f_{j_r}(d_Y^{j_r}) - p_r^{A,j_r} d_Y^{j_r} = f_{j_r}(d_k^{j_r}) - p_r^{A,j_r} d_k^{j_r}$$

$$\phi(\underline{p}) - \phi(p_r) = (\underline{p} - p_r) \cdot (\underline{b} - A \underline{d}_k^{\bar{R}} - A^{j_r} d_Y^{j_r}) \quad (2.40)$$

Definindo a "taxa de crescimento" e o "gradiente":

$$TC = \underline{u}^* \bar{\underline{b}} \quad (2.41)$$

$$GRAD = \bar{\underline{b}}$$

Vemos que $\underline{b} = A \underline{d}_k^{\bar{R}} + A^{j_r} d_Y^{j_r}$, correspondente ao $\bar{\underline{b}}$ atualizado, é o "novo gradiente".

Assim:

$$\text{NGRAD} = \underline{b} - \Lambda \frac{\bar{R}_j \bar{R}}{d_k} - \Lambda^{jr} d_Y^{jr} - \Lambda^{jr} d_k^{jr} + \Lambda^{jr} d_k^{jr}$$

$$\text{NGRAD} = \underline{b} - \Lambda \frac{\bar{Q}_j \bar{Q}}{d_k} - \Lambda^{jr} (d_Y^{jr} - d_k^{jr})$$

$$\text{NGRAD} = \text{GRAD} - \Lambda^{jr} (d_Y^{jr} - d_k^{jr}) \quad (2.42)$$

$$\text{NTC} = \text{TC} - \underline{u}^* \Lambda^{jr} (d_Y^{jr} - d_k^{jr})$$

Verifica-se facilmente que o produto $\underline{u}^* \Lambda^{jr} (d_Y^{jr} - d_k^{jr})$ é sempre positivo, donde:

$$\text{NTC} < \text{TC} \quad (2.43)$$

Vemos daí que, se na função dual caminharmos segundo alguma direção de crescimento desta, a cada mudança de face a taxa de crescimento diminui.

Do acima exposto depreende-se que $\phi(\underline{p})$ é realmente côncava linear por partes.

Como critério de "parada" do procedimento acima descrito, aparece naturalmente:

$$\text{NTC} < 0 \quad (2.44)$$

Podemos ilustrar geometricamente a relação $\text{NTC} < \text{TC}$. Escrevemos:

$$\left\langle -\frac{\underline{u}^*}{\|\underline{u}^*\|}, \text{NGRAD} \right\rangle < \left\langle -\frac{\underline{u}^*}{\|\underline{u}^*\|}, \text{GRAD} \right\rangle$$

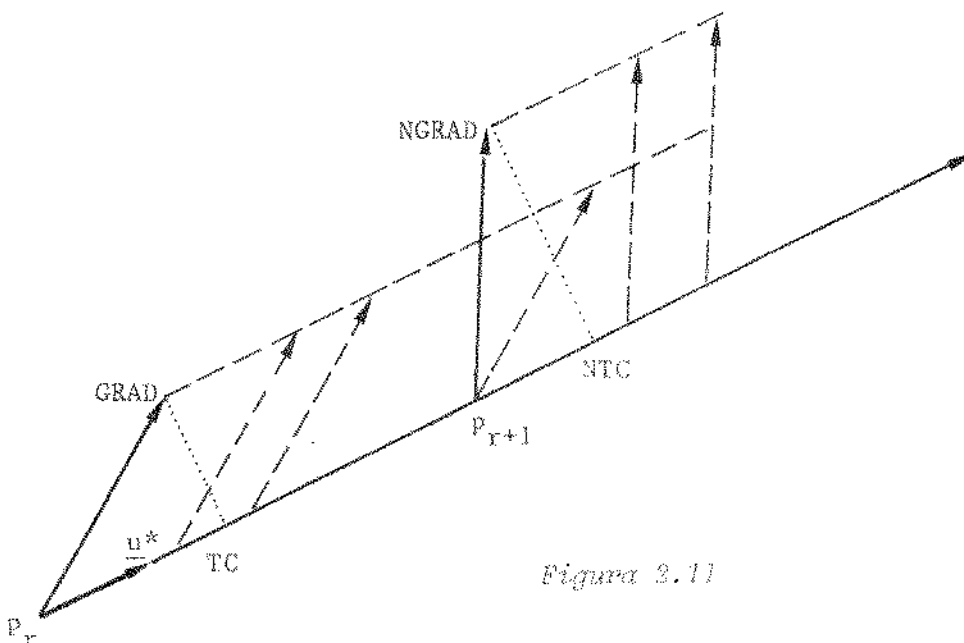


Figura 2.11

A taxa de crescimento é a projeção do gradiente na direção \underline{u}^* . O gradiente é constante entre dois limites consecutivos de t e a cada limite atingido ele muda, não se sabe a priori como, mas a sua projeção na direção \underline{u}^* diminui.

Durante o processo anterior, se após o limite t_r a taxa de crescimento for ainda positiva e não houver nenhum outro limite definido, t pode crescer arbitrariamente e o problema primal não tem solução factível.

2.7 - A Nova Iteração

Na busca unidimensional

$$\underset{t>0}{\text{MAX}} \quad \phi(\underline{p}^i + tu^*)$$

descrita no item anterior, podemos obter um dos resultados:

- Fazer t arbitrariamente grande segundo uma "taxa de crescimento" positiva, o que acarreta:

$$\underset{t>0}{\text{SUP}} \left\{ \phi(\underline{p}^i + tu^*) \quad , \quad t \rightarrow \infty \right\} = \infty$$

;

onde concluímos que o problema (P) é infactível (LASDON).

- Obtermos o limite de crescimento de t na direção u^* (t_s) finito.

Neste caso fazemos:

$$\underline{p}^{i+1} = \underline{p}^i + t_s u^*$$

Sendo x_{js} a variável correspondente a t_s , temos que $x_{js} = c_k^{js}$. Assim o índice js sai do conjunto \bar{Q} e vai completar o Q da próxima iteração.

Durante a busca unidimensional, os valores de k e \bar{b} são atualizados a cada t_r , de modo que no final desta temos k e \bar{b} correspondendo ao novo Q .

Podemos representar as modificações ocorridas nos conjuntos Q e \bar{Q} , entre duas iterações consecutivas, da seguinte maneira:

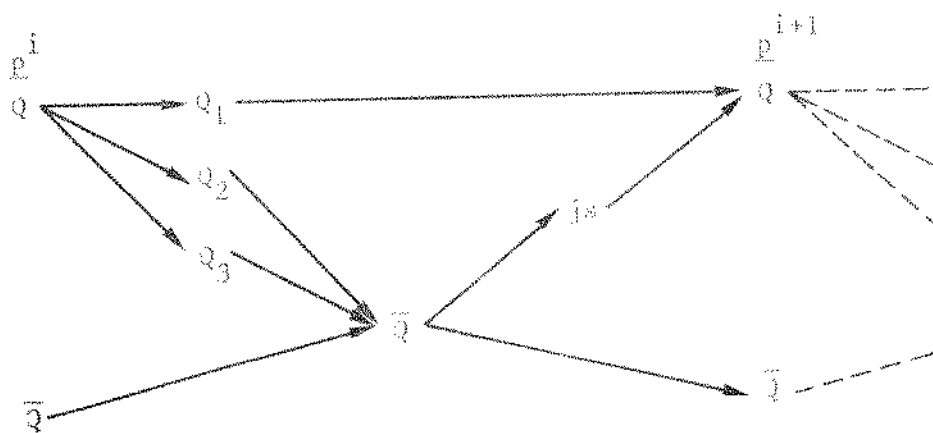


Figura 2.12

Sendo também calculado a variação no valor da função dual, $\Delta\phi$, escrevemos:

$$\phi(\underline{p}^{i+1}) = \phi(\underline{p}^i) + \Delta\phi$$

Para o cálculo da nova inclinação de referência:

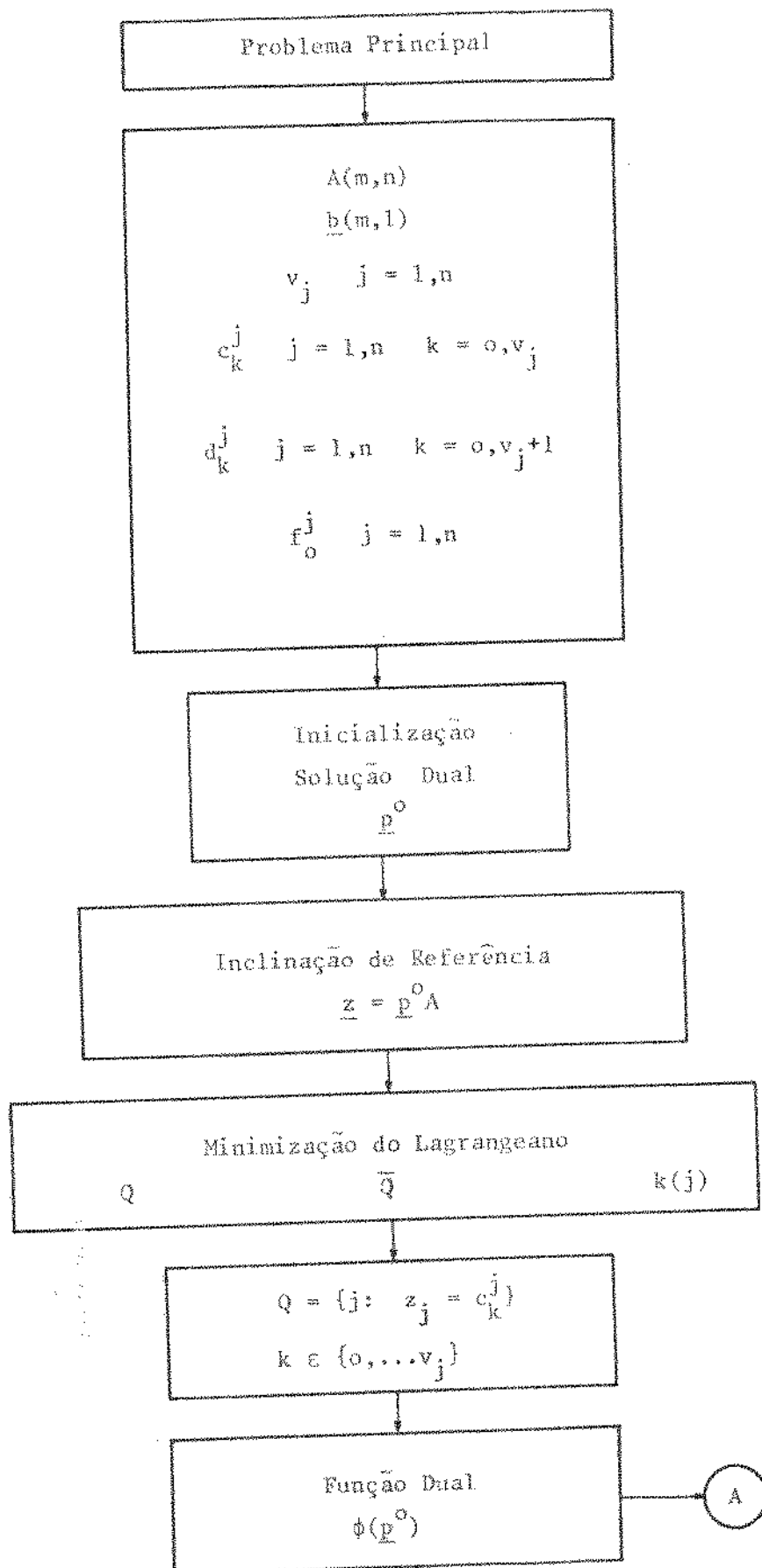
$$\underline{z} = \underline{p}^{i+1} \underline{A}$$

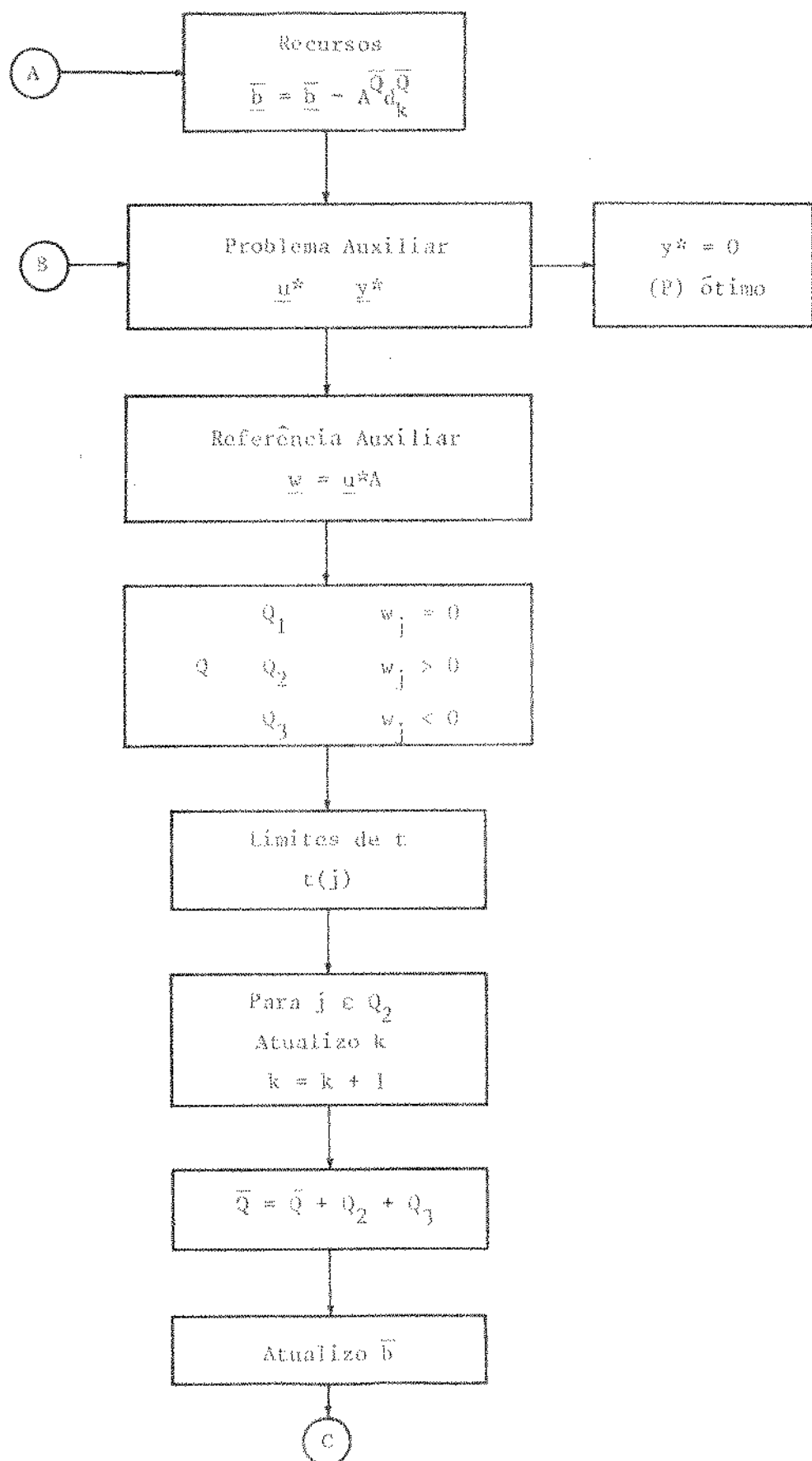
$$\underline{z} = (\underline{p}^i + t_s \underline{u}^*) \underline{A}$$

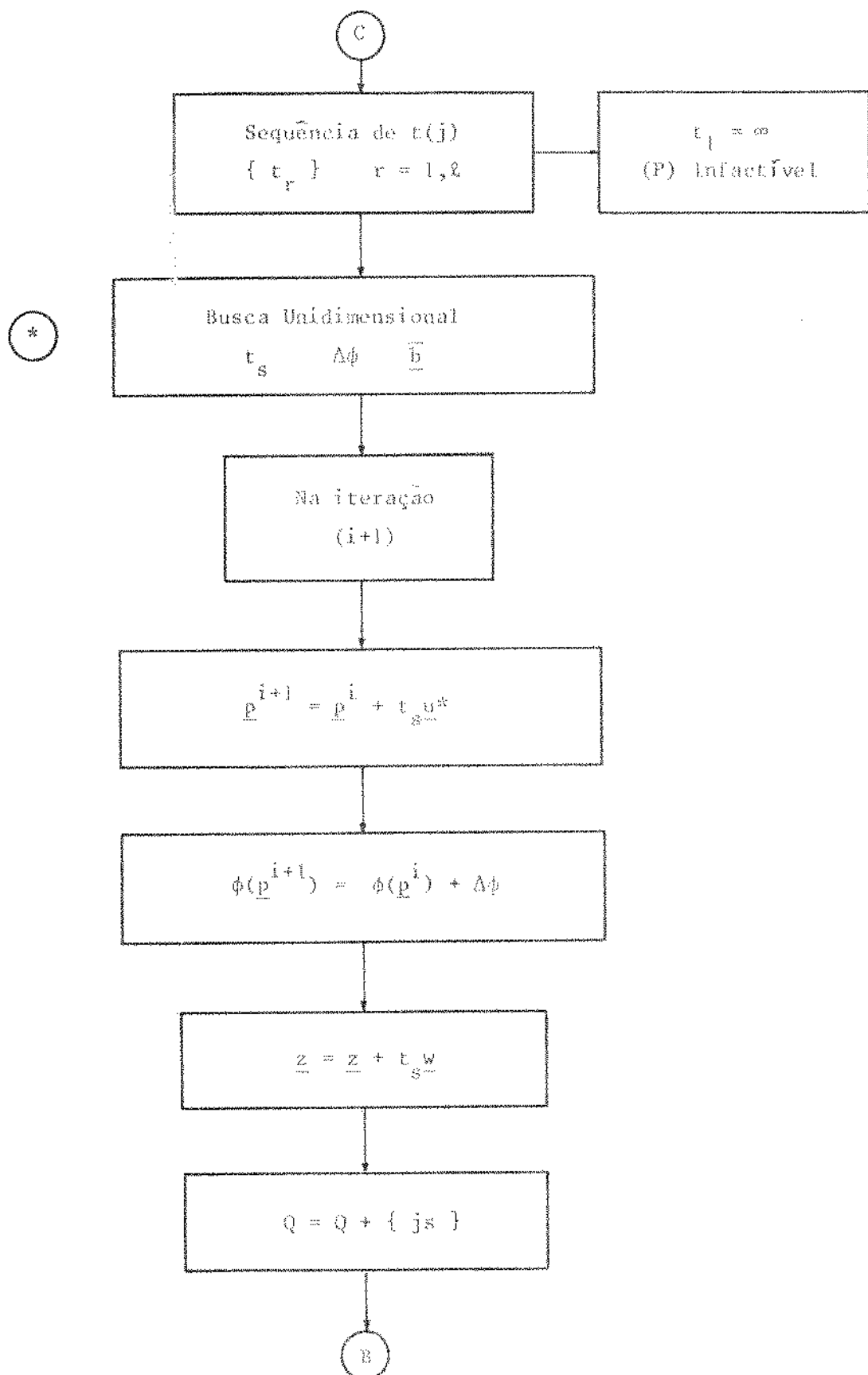
$$\underline{z} = \underline{z} + t_s \underline{w}$$

Assim com Q , k , \underline{b} e \underline{z} , resolvemos o novo problema auxiliar, donde se $\underline{y}^* = 0$ (P) está resolvido, caso contrário repetimos o processo.

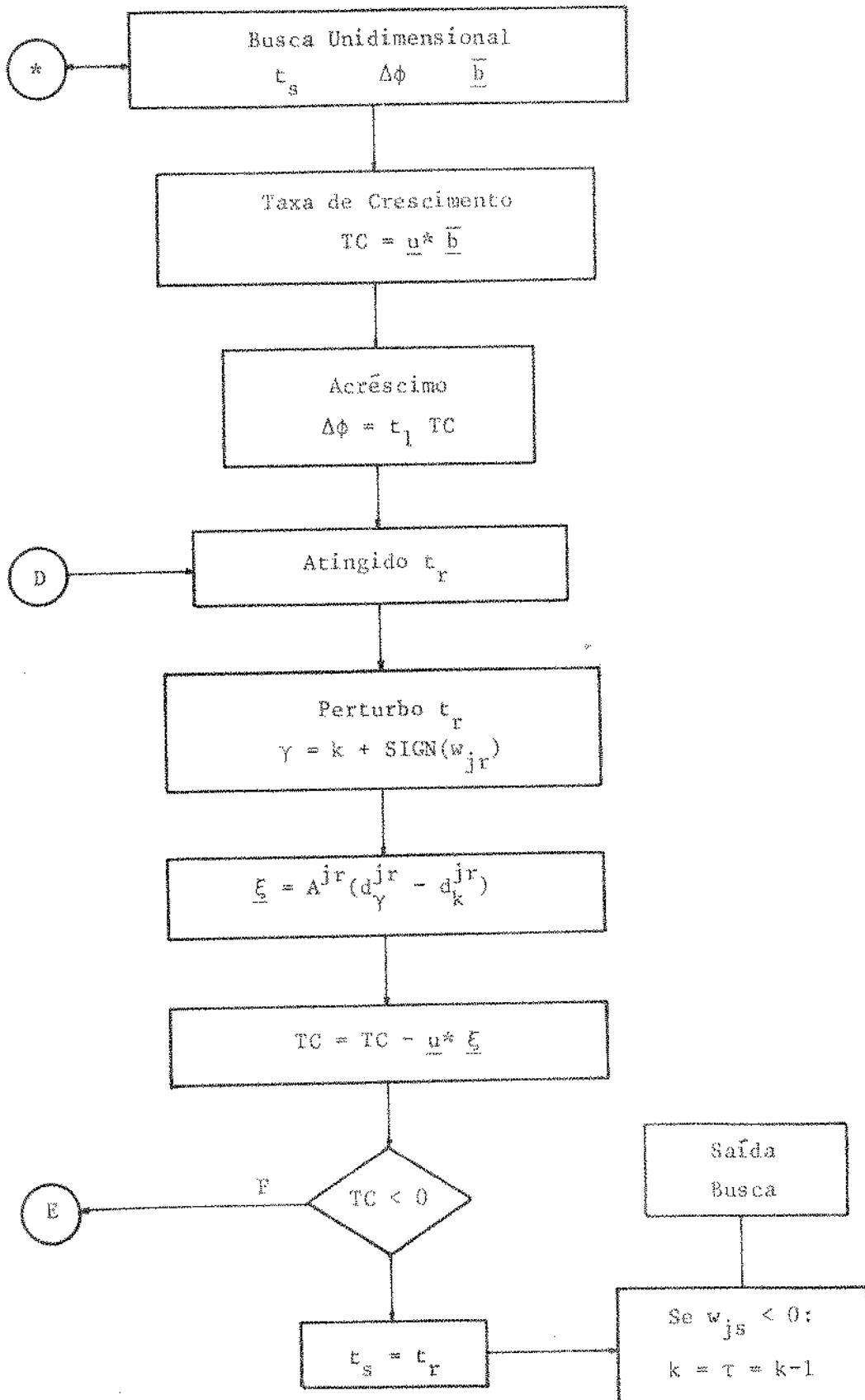
2.8 - Diagrama de Blocos - Problema Principal

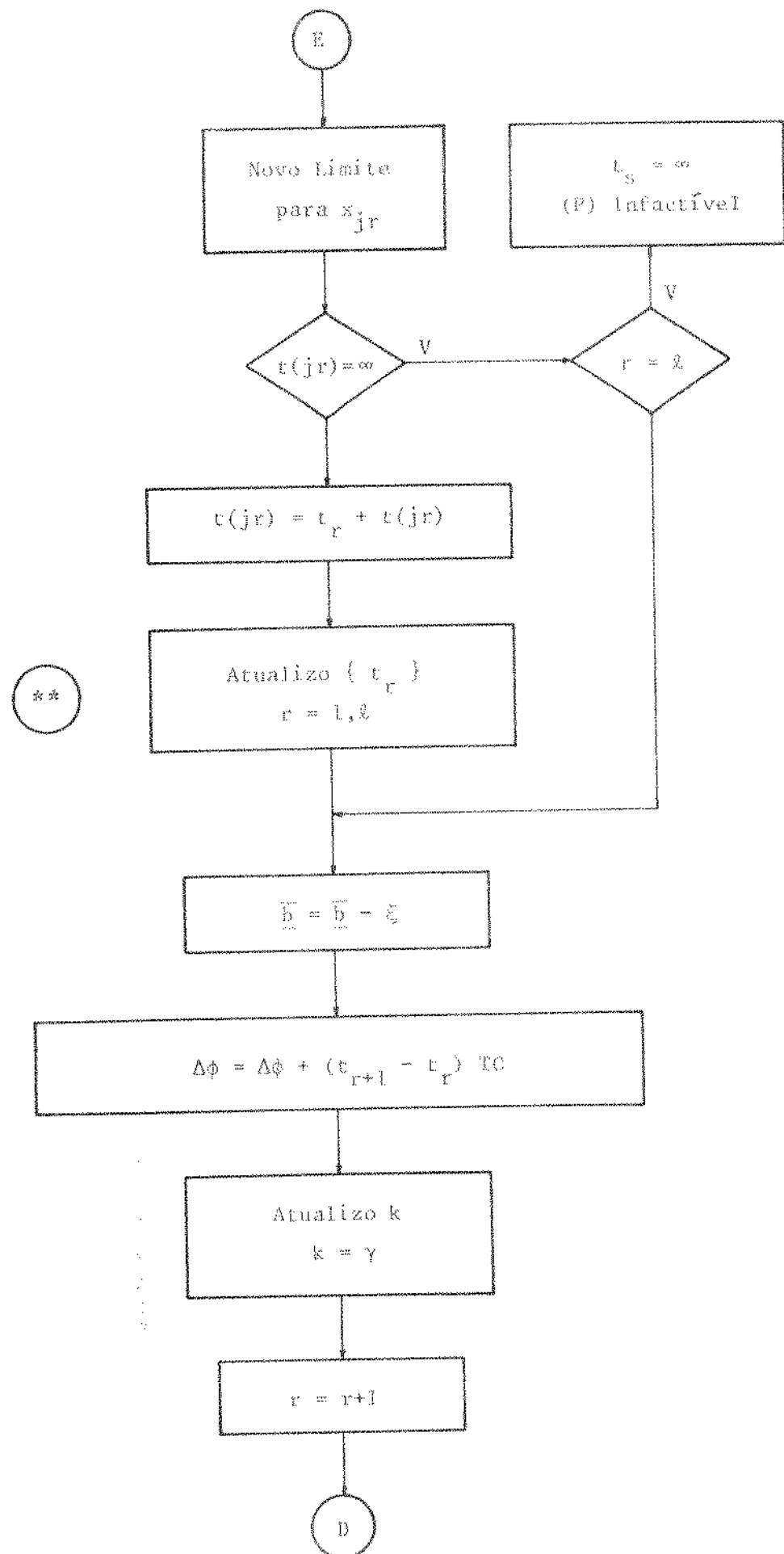


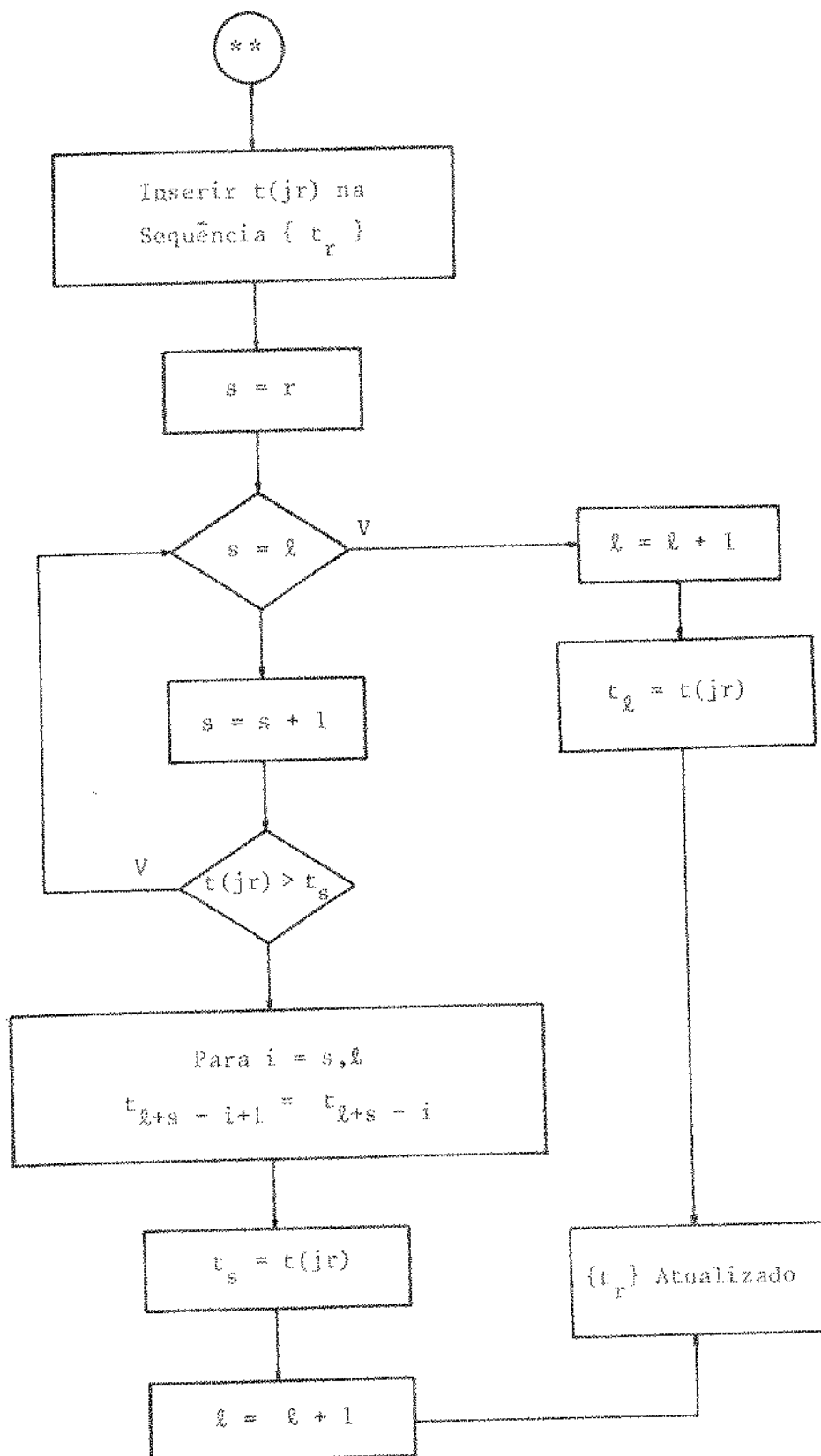




2.9 - Diagrama de Blocos - Busca Unidimensional





2.10 - Diagrama de Blocos - Atualização de $\{t_r\}$ 

CAPÍTULO 3: OBTENÇÃO DA MÁXIMA DERIVADA DIRECIONAL
 (PROBLEMA AUXILIAR, PA)

3.1 - Introdução

No desenvolvimento anterior, estando num ponto arbitrário do dual, quando da procura duma direcção que corresponde a maior taxa de crescimento para $\phi(\underline{p})$, se o Q é não vazio, deparamos com o problema (PAD), cuja solução ótima fornece a tal direcção:

$$\begin{aligned} \text{MAX}_{\underline{u}} \quad & \left\{ \text{MIN}_{\underline{x}_Q} \left\{ \underline{u}(\underline{b} - A^{\bar{Q}} \underline{d}_k^{\bar{Q}} - A^Q \underline{x}_Q) \right\} \right\} \\ \text{s.a.: } & \|\underline{u}\| = 1 \end{aligned} \quad (\text{PAD})$$

$$\underline{d}_k^Q \leq \underline{x}_Q \leq \underline{d}_{k+1}^Q$$

Este procedimento é equivalente ao de se obter o "vetor multiplicador" referente à solução básica ótima do problema (PA):

$$\begin{aligned} \text{MIN}_{\underline{y}} \quad & h(\underline{y}) = \sum_{j=1}^m e_j |y_j| \\ \text{s.a.: } & A^Q \underline{x}_Q + \underline{y} = \underline{b} - A^{\bar{Q}} \underline{d}_k^{\bar{Q}} \\ & \underline{d}_k^Q \leq \underline{x}_Q \leq \underline{d}_{k+1}^Q \end{aligned} \quad (\text{PA})$$

Norma retangular adotada:

$$\|\underline{u}\| = \min \{t: -t\epsilon \leq \underline{u} \leq t\epsilon, \epsilon > 0, t > 0\}$$

No apêndice 1, prova-se que (PAD) é o dual de (PA).

Do exposto, mostramos a não existência de intervalo de dualidade entre (PA) e (PAD):

Resolvido (PA), tem-se a sua solução ótima, $(\underline{y}^*, \underline{x}_Q^*)$, satisfazendo:

$$A^Q \underline{x}_Q^* + \underline{y}^* = b - A^Q \bar{d}_k$$

(PAD) resulta em:

$$\max_{\underline{u}} \left\{ \underline{u}^T (b - A^Q \bar{d}_k - A^Q \underline{x}_Q^*) \right\} = \max_{\underline{u}} \left\{ \underline{u}^T \underline{y}^* \right\}$$

cujas soluções, separáveis, são:

$y_j^* = 0$	$,$	$u_j^* \in [-e_j, e_j]$	
$y_j^* > 0$	$,$	$u_j^* = e_j$	(3.0)
$y_j^* < 0$	$,$	$u_j^* = -e_j$	

Assim o valor ótimo de (PAD) é:

$$\begin{aligned} \psi(\underline{u}^*) &= \underline{u}^T (b - A^Q \bar{d}_k - A^Q \underline{x}_Q^*) = \\ &= \sum_{y_j > 0} e_j y_j^* + \sum_{y_j < 0} (-e_j) y_j^* \end{aligned}$$

Sem perda de generalidade, considerando j tal que $y_j^* = 0$, escrevemos:

$$\psi(\underline{u}^*) = \sum_{j=1}^m e_j |y_j^*| = h(\underline{y}^*)$$

Na resolução de (PA), utilizamos basicamente o algoritmo primal linear por partes, numa formulação adequada às suas características particulares.

Quanto à solução ótima de (PA), ela nunca será tipo β . Qualquer um dos fatores abaixo estabelece isto:

- Função objetivo penaliza as m variáveis irrestritas.
- A cada iteração, \underline{y} tem que satisfazer a $A_{\underline{x}_Q}^Q + \underline{y} = \underline{b} - A_{\underline{d}_k}^Q$, nunca crescendo arbitrariamente.

3.2 - O Problema

O problema (PA), pode ser caracterizado como um primal restrito:

- Linear e canalizado nas variáveis \underline{x}_Q .
- Linear por partes e irrestrito, com somente um ponto crítico, nas variáveis \underline{y} .

No problema principal, a cada $j \in Q$ obtido, definimos $j(q) = j$. Se Q é vazio, ($q = 0$), a solução de (PA) é trivial, ($\underline{y}^* = \underline{b} - A_{\underline{d}_k}^Q$).

$$\text{Definindo: } x_{j+n} = y_j \quad j = 1, m$$

$$e_{j+n} = e_j \quad j = 1, m$$

$$\underline{b} = \underline{b} - A_{\underline{d}_k}^Q \quad (3.1)$$

$$A = [A^Q, \Pi], \text{ inicialmente}$$

$$h_j(x_j) = 0 \quad j = 1, q$$

$$h_j(x_j) = e_j |x_j| \quad j = u+1, n+m$$

Reescrevemos (PA):

$$\begin{aligned} \text{MIN } h(\underline{x}) &= \sum_{j=n+1}^{n+m} h_j(x_j) \\ \text{s.a: } A\underline{x} &= \underline{b} \\ d_k^j &\leq x_j \leq d_{k+1}^j \quad j = 1, q \end{aligned} \tag{PA}$$

Observações:

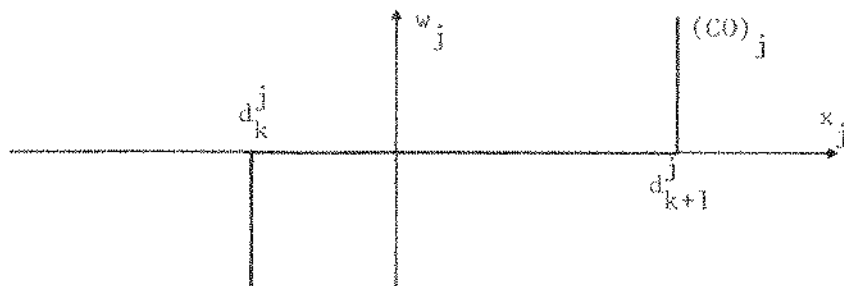
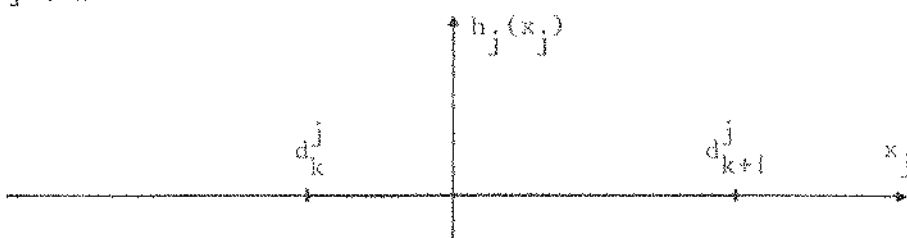
- Para simplificar, sendo Q constituído de q elementos, se j varia em Q, escrevemos $j = 1, q$ e não $j(i)$ com $i = 1, q$.

- A variável \underline{x} é um vetor coluna de $m+q$ componentes.

- I^n é a matriz identidade (m , m).

Representemos graficamente as $h_j(x_j)$ e as respectivas curvas de optimidade, $(CO)_j$:

$$j \leq n$$



Réquint. 3.1

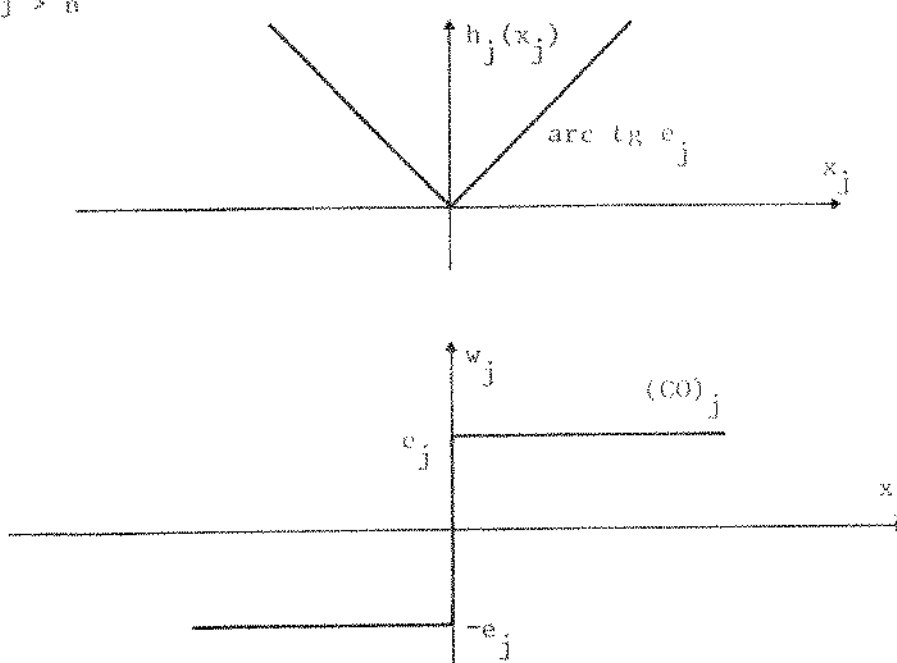
$j > n$ 

Figura 3.2

3.3 - O Algoritmo

A partir de uma solução básica factível, o algoritmo percorre soluções básicas factíveis, num número finito de passos, até a solução ótima. A cada passo fazemos um teste de optimidade, que, se satisfeita, finaliza o algoritmo, se não, procuramos uma nova solução que diminua $h(\underline{x})$.

No problema auxiliar, por construção, A tem "rank" m .

Sendo $\{I, J\}$ a base, I o conjunto de índices das variáveis básicas, de $A\underline{x} = \underline{b}$ obtemos:

$$A^J \underline{x}_J + A^I \underline{x}_I = \underline{b}$$

$$\underline{x}_I = (A^I)^{-1} \underline{b} - (A^I)^{-1} A^J \underline{x}_J$$

$$\underline{x}_I = \underline{b} - \hat{A}^J \underline{x}_J \quad (3.2)$$

Colocamos as variáveis x_j em pontos críticos (d_k^j). Assim, para $j \in J$,

$$x_j = 0 \quad \text{se } j > n \quad (3.3)$$

$$x_j = d_k^j - c_{j,n} - c_{j,n+1}, \quad \text{se } j \leq n \quad (3.4)$$

Temos a solução básica:

$$\underline{x} = \begin{bmatrix} \underline{x}_J \\ \underline{x}_I \end{bmatrix} = \begin{bmatrix} d_k^J \\ \underline{b} - \bar{A}^J d_k^J \end{bmatrix} \quad (3.5)$$

Note que a uma base $\{i, j\}$, correspondem várias soluções básicas.

A solução (3.5) é factível se $x_j \in [d_k^j, d_{k+1}^j]$, $j \in I$, $j \leq n$.

No problema auxiliar, sendo a base inicial:

$$J = Q$$

$$I = \{n+1, \dots, n+m\}$$

como x_j , $j \in I$ é irrestrita, uma solução básica factível de partida é de obtenção trivial.

Considerações:

- A solução (3.5) é degenerada se x_j , $j \in I$ coincide com algum ponto crítico d_k^j .
- (PA) é degenerado se alguma solução básica factível for degenerada.
- Supomos (PA) não degenerado.

3.4 - Condições de Optimalidade

Definimos o vetor de inclinações $\underline{c}_k^I (l, m)$:

$$\underline{c}_k^j = 0 \quad , \quad j \leq n \quad (3.6)$$

$$\underline{c}_k^j = e_j \quad , \quad j > n \quad , \quad x_j > 0 \quad (3.7)$$

$$\underline{c}_k^j = -e_j \quad , \quad j > n \quad , \quad x_j < 0 \quad (3.8)$$

Sendo:

$$L(\underline{x}, \underline{u}) = h(\underline{x}) + \underline{u}(\bar{\underline{b}} - A\underline{x})$$

se para dado \underline{u} , \underline{x}^* minimiza $L(\underline{x}, \underline{u})$, sujeito a $d_k^Q \leq \underline{x}_Q \leq d_{k+1}^Q$, então os pontos (x_j^*, w_j) , com $w_j = \underline{u} A^j$, estão sobre as respectivas curvas de optimalidade. Se, além disso, \underline{x}^* é factível de (PA), então \underline{x}^* é ótimo de (PA). Como o algoritmo primal só trabalha com soluções factíveis, resulta a condição de optimalidade a cada iteração:

\underline{x}^* É ÓTIMO DO (PA), SE OS PONTOS (x_j^*, w_j) , $j = 1, n+m$, ESTÃO SOBRE AS RESPECTIVAS CURVAS DE OTIMALIDADE.

Para $j \in I$, supondo não degenerescência, x_j está em algum intervalo linear de $h_j(x_j)$. Para obtermos os pontos (x_j^*, w_j) sobre $(C0)_j$, impomos:

$$w_j = \underline{c}_k^j \quad , \quad j \in I \quad (3.9)$$

daí, $\underline{u} A^I = \underline{c}_k^I$ ou

$$\underline{u} = \underline{c}_k^I (A^I)^{-1} \quad (3.10)$$

Desta maneira x_j báscio satisfaaz a condição de otimalidade.

Sendo $w_j = \underline{u} A^j$, de (3.10) obtemos $w_j = c_k^T (A^I)^{-1} A^j$, ou

$$w_j = c_k^T \bar{A}^j \quad (3.11)$$

Com \underline{u} calculado em (3.10), obtemos w_j , $j \in J$, e testamos os pontos (x_j, w_j) .

Sendo a variável x_j não básica, ela assume um valor crítico. A partir das figuras 3.1 e 3.2, escrevemos $x_j \in (CO)_j$ se:

$$\text{para } j \leq n : \quad x_j = d_k^j \quad \text{e} \quad w_j \leq 0 \quad , \quad \text{ou}$$

$$x_j = d_{k+1}^j \quad \text{e} \quad w_j > 0 \quad (3.12)$$

$$\text{para } j > n : \quad x_j = 0 \quad \text{e} \quad -e_j \leq w_j \leq e_j$$

Supondo que (x_ℓ, w_ℓ) , $\ell \in J$, não pertence a $(CO)_\ell$, ocorre um dos casos:

$$\begin{cases} \text{(i)} & x_\ell = d_k^\ell \quad \text{e} \quad w_\ell > 0 \\ \text{(ii)} & x_\ell = d_{k+1}^\ell \quad \text{e} \quad w_\ell < 0 \end{cases} \quad (3.13)$$

$$\begin{cases} \text{(iii)} & x_\ell = 0 \quad \text{e} \quad w_\ell > e_\ell \\ \text{(iv)} & x_\ell = 0 \quad \text{e} \quad w_\ell < -e_\ell \end{cases}$$

Definimos:

$$\begin{aligned}
 c_k^l &= 0, \quad \text{casos (i) e (ii)} \\
 c_k^l &= e_l, \quad \text{caso (iii)} \\
 c_k^l &= -e_l, \quad \text{caso (iv)} \\
 \vdots
 \end{aligned} \tag{3.14}$$

Graficamente um ponto (x_l, w_l) pode estar localizado relativamente à curva de otimalidade da seguinte maneira:

$$l \leq n$$

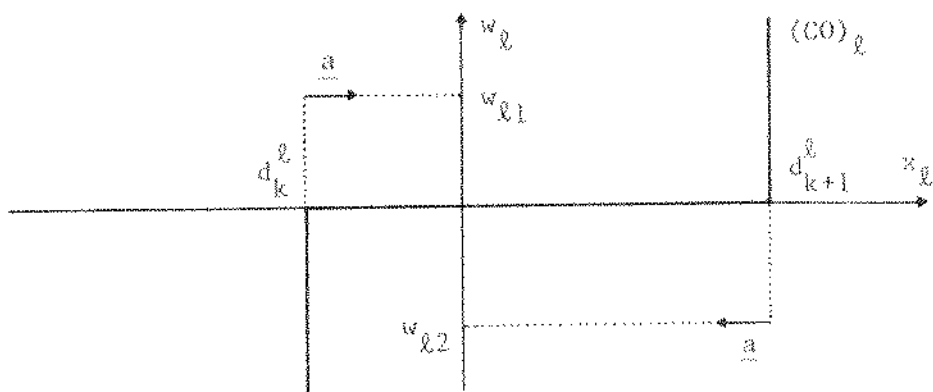


Figura 3.3

$$l > n$$

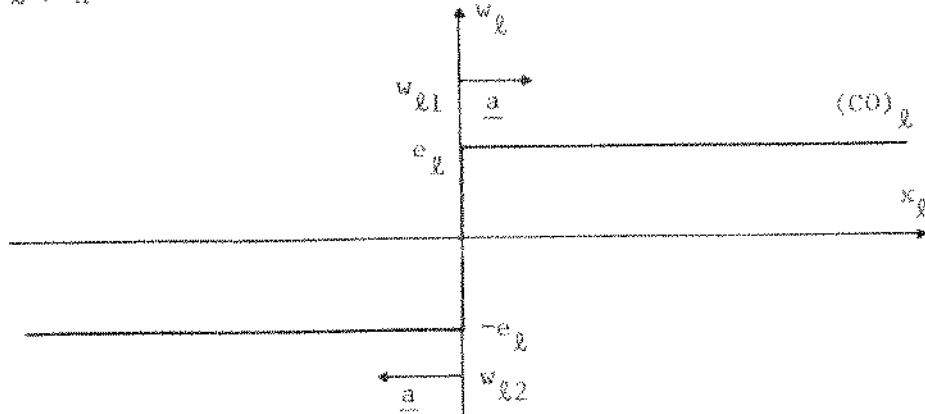


Figura 3.4

Observações:

- x_1 , caso (i) ou (iii)
- x_2 , caso (ii) ou (iv)
- $h(\underline{x})$ diminui se x_j é alterado segundo \underline{a} .

3.5 - Mudança de Solução Básica - Acréscimo na Variável Independente

Corresponde aos casos (i) e (iii).

Queremos aumentar x_{ℓ} , construindo uma nova solução básica factível para (PA), associada a um valor menor de $h(\underline{x})$.

Definimos inicialmente o vetor:

$$\underline{x}(\theta) = \begin{cases} x_j + \theta \hat{A}_t^\ell & j \in I \\ x_\ell + \theta & \\ x_j & j \in J - \{\ell\} \end{cases}$$

onde t indica a posição de j em I .

Considerando que:

- as variáveis não básicas permanecem inalteradas (exceto x_ℓ),
- as variáveis x_j , $j > n$ são irrestritas,
- a restrição $A\underline{x}(\theta) = \bar{b}$ é satisfeita para θ arbitrário,

concluímos que a factibilidade de $\underline{x}(\theta)$ é restrita para:

$$\begin{aligned} & \left\{ j : j \leq n \quad \text{e} \quad j \in I + \{\ell\} \right\} \\ & d_k^j \leq x_j(\theta) \leq d_{k+1}^j \end{aligned} \tag{3.15}$$

Analisando o crescimento de θ , restrito a (3.15), vemos que as variáveis x_j , $j > n$, percorrem intervalos lineares e se o ponto crítico é atingido, a respectiva inclinação se altera de $2e_j$.

Graficamente, para $j \in I$, os pontos (x_j, w_j) se movem relativamente a curva de otimalidade da seguinte maneira:

$j < n$

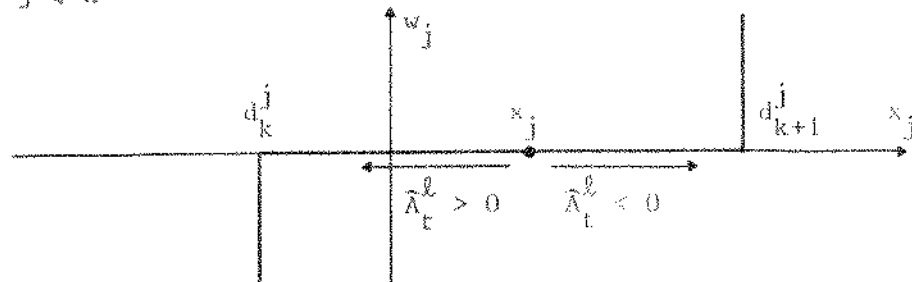


Figura 3.5

$j > n$

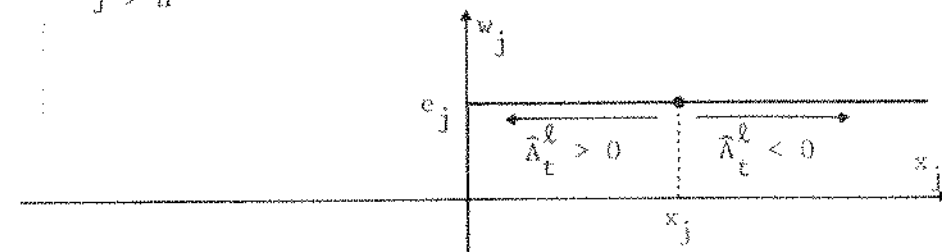


Figura 3.6

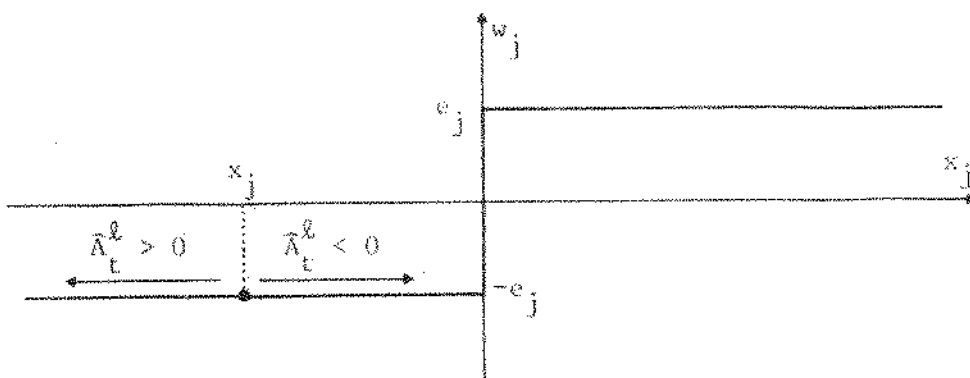


Figura 3.7

O cálculo da variação de $h(x)$ é feito a cada trecho linear desta, isto é, por intervalos de θ tal que, entre dois θ consecutivos, nenhum x_j ultrapassa o ponto crítico correspondente.

Observando as figuras 3.5, 3.6 e 3.7, escrevemos os valores de θ que dão margem a esta situação:

$$j \leq n, \quad \hat{A}_t^\ell > 0 \quad \theta(j) = \frac{x_j - d_k^j}{\hat{A}_t^\ell} \quad (3.16)$$

$$j \leq n, \quad \hat{A}_t^\ell < 0 \quad \theta(j) = \frac{x_j - d_{k+1}^j}{\hat{A}_t^\ell} \quad (3.17)$$

$$j > n, \quad \begin{cases} \hat{A}_t^\ell > 0, \quad x_j > 0 \\ \hat{A}_t^\ell < 0, \quad x_j < 0 \end{cases} \quad \theta(j) = \frac{x_j}{\hat{A}_t^\ell} \quad (3.18)$$

Com relação a x_ℓ , das figuras 3.3 e 3.4, concluímos que se $\ell \leq n$:

$$\theta(\ell) = d_{k+1}^\ell - d_k^\ell \quad (3.19)$$

Ordenando os $\theta(j)$ acima calculados, construímos a sequência $\{\theta_r\}$.

Não considerando degenerescência, supomos distintos todos os elementos de $\{\theta_r\}$.

Crescendo θ sucessivamente, a cada θ_r atingido, para a variável x_j correspondente, não calculamos nenhum outro limite, porque só ocorre uma das duas situações:

$$- j \leq n, \quad x_j = d_k^j \text{ ou } d_{k+1}^j$$

Este θ_{rj} é o limite de crescimento de θ (equação 3.15).

$$- j > n, \quad x_j = 0$$

A partir daí, x_j cresce indefinidamente com θ .

Até agora nos preocupamos em ter a equação (3.15) satisfeita. Tendo em vista que o objetivo é obter nova solução que, além de factível, seja básica e melhore o valor de $h(\underline{x})$, consideramos se, com θ percorrendo $[0_1]$, $h(\underline{x})$ está diminuindo a cada passo.

Definimos:

$$\Delta = c_k^{\ell} - w_{\ell} \quad (3.20)$$

Observações:

- c_k^{ℓ} como em (3.14).
- Em (3.12) vemos que $\Delta < 0$.
- $|\Delta|$ fornece uma medida de quão longe x_{ℓ} está da optimidade.

Supondo $\theta \in [0, \theta_1]$:

$$h(\underline{x}(\theta)) - h(\underline{x}) = \theta (c_k^{\ell} - \underline{c}_k^I \hat{A}_{\ell}^{\ell}) \quad (3.21)$$

da equação (3.11), $w_{\ell} = \underline{c}_k^I \hat{A}_{\ell}^{\ell}$.

$$h(\underline{x}(\theta)) - h(\underline{x}) = \theta (c_k^{\ell} - w_{\ell}) = \theta \Delta < 0 \quad (3.22)$$

Vemos que Δ é o crescimento por unidade de θ no primeiro intervalo. $h(\underline{x})$ diminuiu.

Se θ ultrapassa θ_1 , em (3.21) c_k^{j1} se altera, conforme figuras 3.6 e 3.7, de c_k^j para:

$$\bar{c}_k^j = c_k^j - 2e_j \text{ Sign } (\hat{A}_t^{\ell}) \quad (3.23)$$

sendo $x_{j1} = 0$ referente a $\theta = \theta_1$.

E assim para todo θ_r escrevemos:

$$c_k^{jr} - \bar{c}_k^{jr} = 2e_{jr} \operatorname{Sign}(\hat{A}_{tr}^l) \quad (3.24)$$

Definimos σ_r :

$$\sigma_r = (c_k^{jr} - \bar{c}_k^{jr}) \hat{A}_{tr}^l \quad (3.25)$$

$$\sigma_r = 2e_{jr} \operatorname{Sign}(\hat{A}_{tr}^l) \hat{A}_{tr}^l \quad (3.26)$$

Vemos que σ_r é sempre positivo.

Resulta que no intervalo $[\theta_1, \theta_2]$:

$$h(\underline{x}(\theta)) - h(\underline{x}) = \Delta\theta_1 + \Delta_1 (\theta - \theta_1)$$

onde $\Delta_1 = \Delta + \sigma_1$, logo:

$$h(\underline{x}(\theta)) - h(\underline{x}) = \Delta\theta + \sigma_1 (\theta - \theta_1)$$

Genericamente num intervalo $[\theta_r, \theta_{r+1}]$:

$$h(\underline{x}(\theta)) - h(\underline{x}) = \Delta\theta + \sum_{i=1}^r \sigma_i (\theta - \theta_i) \quad (3.27)$$

$$\Delta_r = \Delta + \sum_{i=1}^r \sigma_i \quad (3.28)$$

Vê-se que Δ , inicialmente negativo, sofre acréscimos positivos, σ_r , a cada θ_r atingido. Quando Δ_r se tornar não negativo, $h(\underline{x})$ não diminui mais. Seja θ_s o valor de θ tal que isto aconteça.

Desta maneira $x(\theta_s)$ é a melhor solução factível para $h(\underline{x})$ nesta iteração. Observe também que dado a forma como foram obtidos os valores de x_j , $j \in I + \{\ell\}$, $x(\theta_s)$ é básica.

Assim:

- x_ℓ entra na base e x_{js} sai.
- Se $js = \ell$, temos a mesma base mas soluções básicas diferentes.

O procedimento anterior pode ser ilustrado graficamente da seguinte maneira:

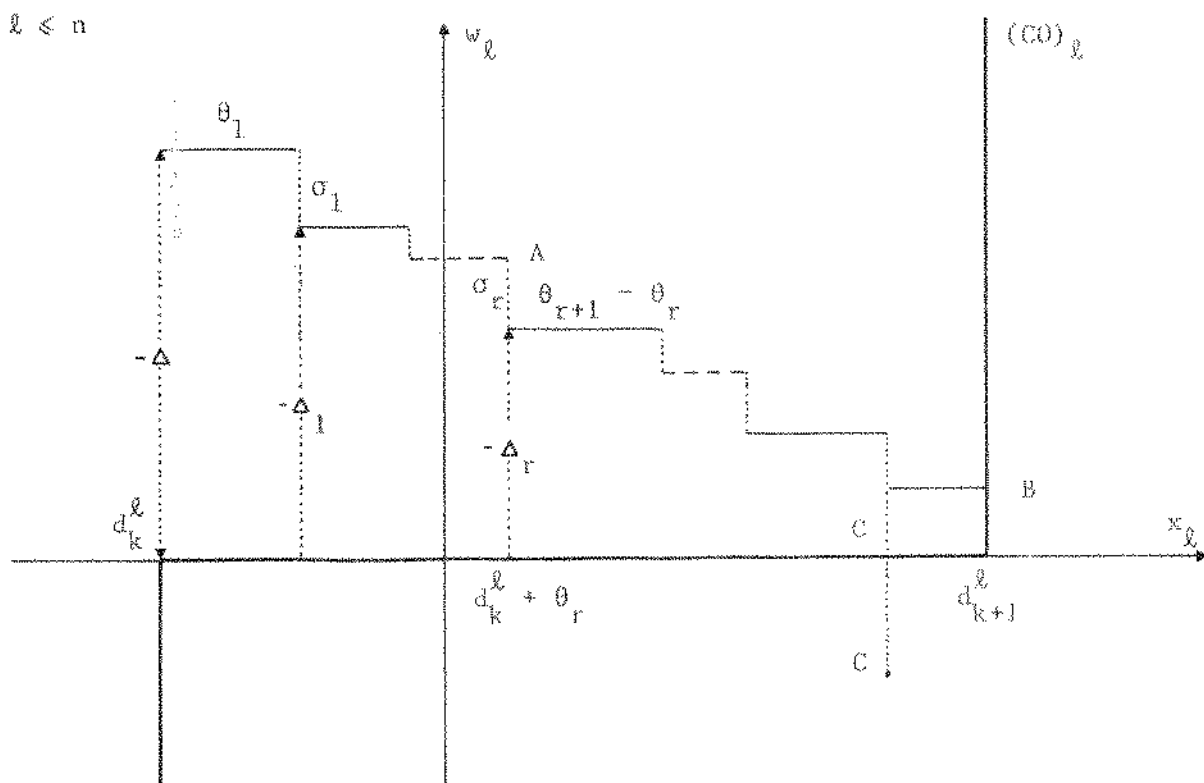
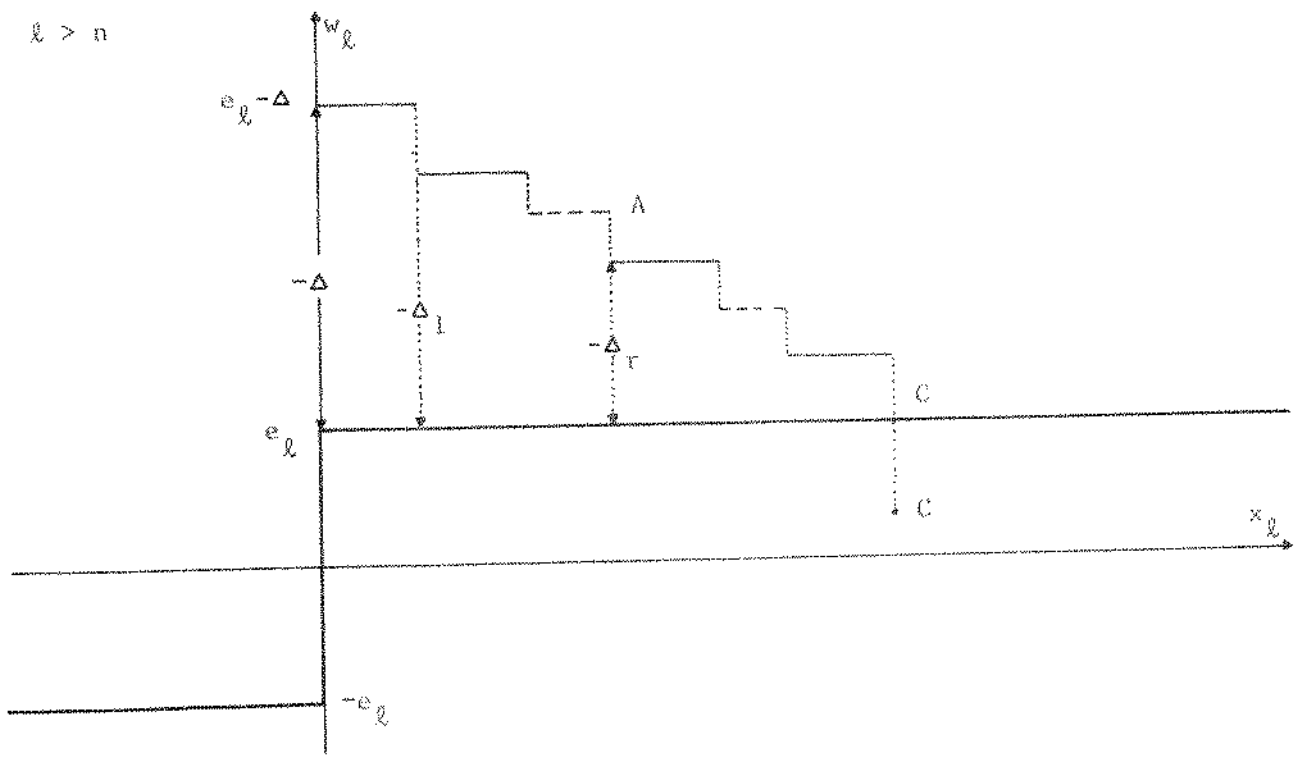


Figura 3.8



- O ponto (x_l, w_l) se move na direção horizontal, de maneira contínua, entre θ_r consecutivos. Na vertical, a cada θ_r , w_l sofre um decréscimo de σ_r .

O pâra de crescer quando ocorre uma das três situações, (fig's 3.8 e 3.9):

- A: θ_r atingido iguala d_{k+1}^i , $i \in Q$ com $\Delta_r < 0$.
- B: idem a A, com $i = l$.
- C: Δ_s se torna não negativo.

(*) A situação B não ocorre para $l > n$.

Com relação à mudança de base podemos dizer:

- A e C: x_l entra na base, x_{j_s} sai.
- B: x_l entra e sai da base, só que agora (x_l, w_l) está sobre $(CO)_l$.

3.6 - Mudança de Solução Básica - Decréscimo na Variável Independente

Corresponde aos casos (ii) e (iv).

Queremos diminuir x_ℓ , constituindo uma nova solução básica factível para (PA), associada a um valor menor de $h(x)$.

A alteração é feita segundo:

$$\underline{x}(\theta) = \begin{cases} x_j + \theta \hat{\Lambda}_t^\ell & j \in I \\ x_\ell - 0 & \\ x_j & j \in J - \{ \ell \} \end{cases}$$

onde t indica a posição de j em I .

O estudo é análogo ao anterior com as seguintes modificações:

- Valores críticos de θ :

$$j \leq n, \quad \hat{\Lambda}_t^\ell > 0 \quad \theta(j) = \frac{d_{k+1}^j - x_j}{\hat{\Lambda}_t^\ell} \quad (3.29)$$

$$j \leq n, \quad \hat{\Lambda}_t^\ell < 0 \quad \theta(j) = \frac{d_k^j - x_j}{\hat{\Lambda}_t^\ell} \quad (3.30)$$

$$j > n, \quad \begin{cases} \hat{\Lambda}_t^\ell > 0, \quad x_j < 0 \\ \hat{\Lambda}_t^\ell < 0, \quad x_j > 0 \end{cases} \quad \theta(j) = \frac{-x_j}{\hat{\Lambda}_t^\ell} \quad (3.31)$$

$$(*) \quad \text{Se } \ell \leq n : \quad \theta(\ell) = d_{k+1}^\ell - d_k^\ell.$$

- Taxa inicial de decréscimo:

$$\Delta = w_k - c_k^l \quad (3.32)$$

A cada θ_k atingido temos:

- Nova inclinação:

$$\bar{c}_k^j = c_k^j + 2e_j \operatorname{Sign}(\hat{A}_t^l) \quad (3.33)$$

- Nova taxa de decréscimo:

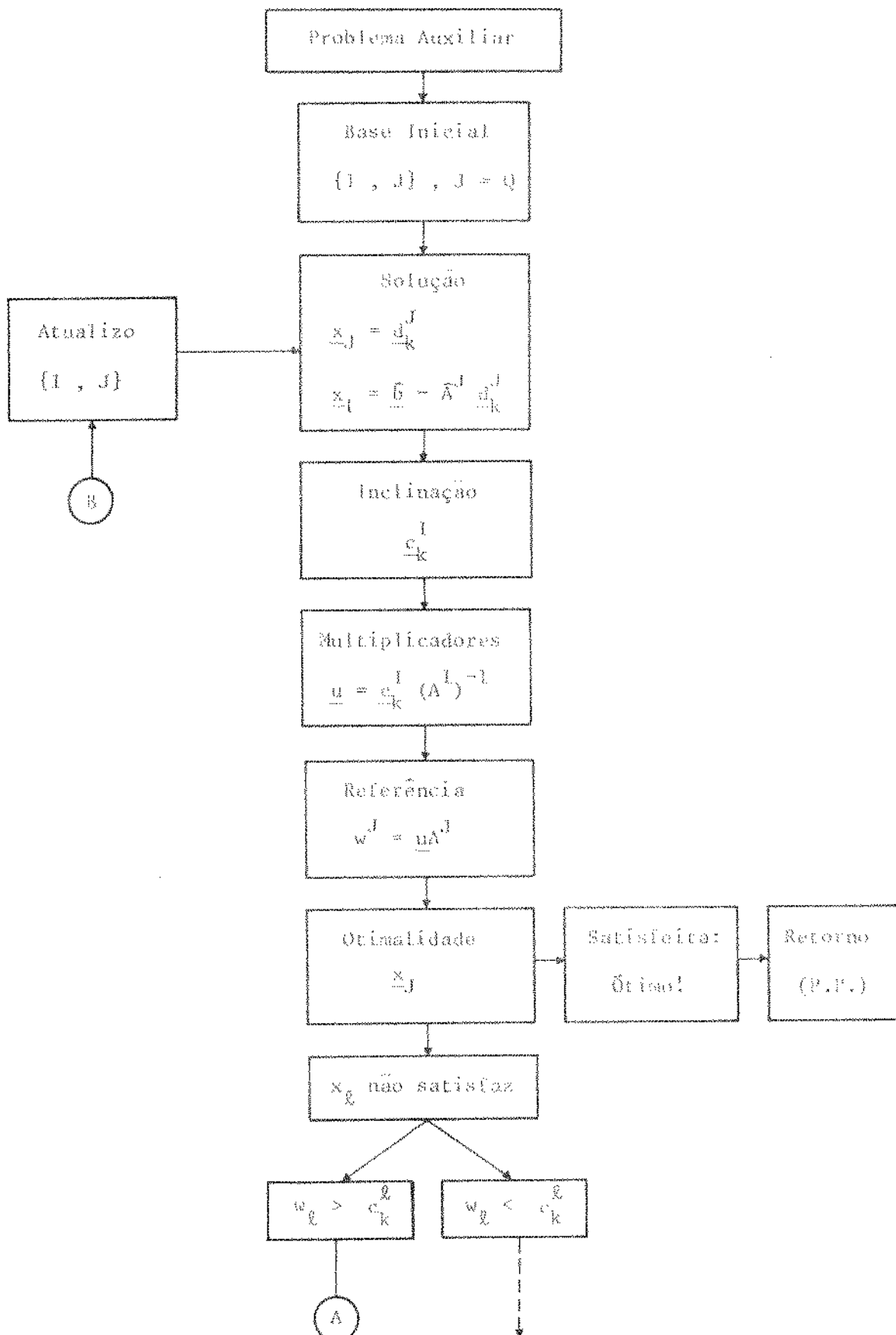
$$\sigma_r = (\bar{c}_k^j - c_k^j) \hat{A}_t^l \quad (3.34)$$

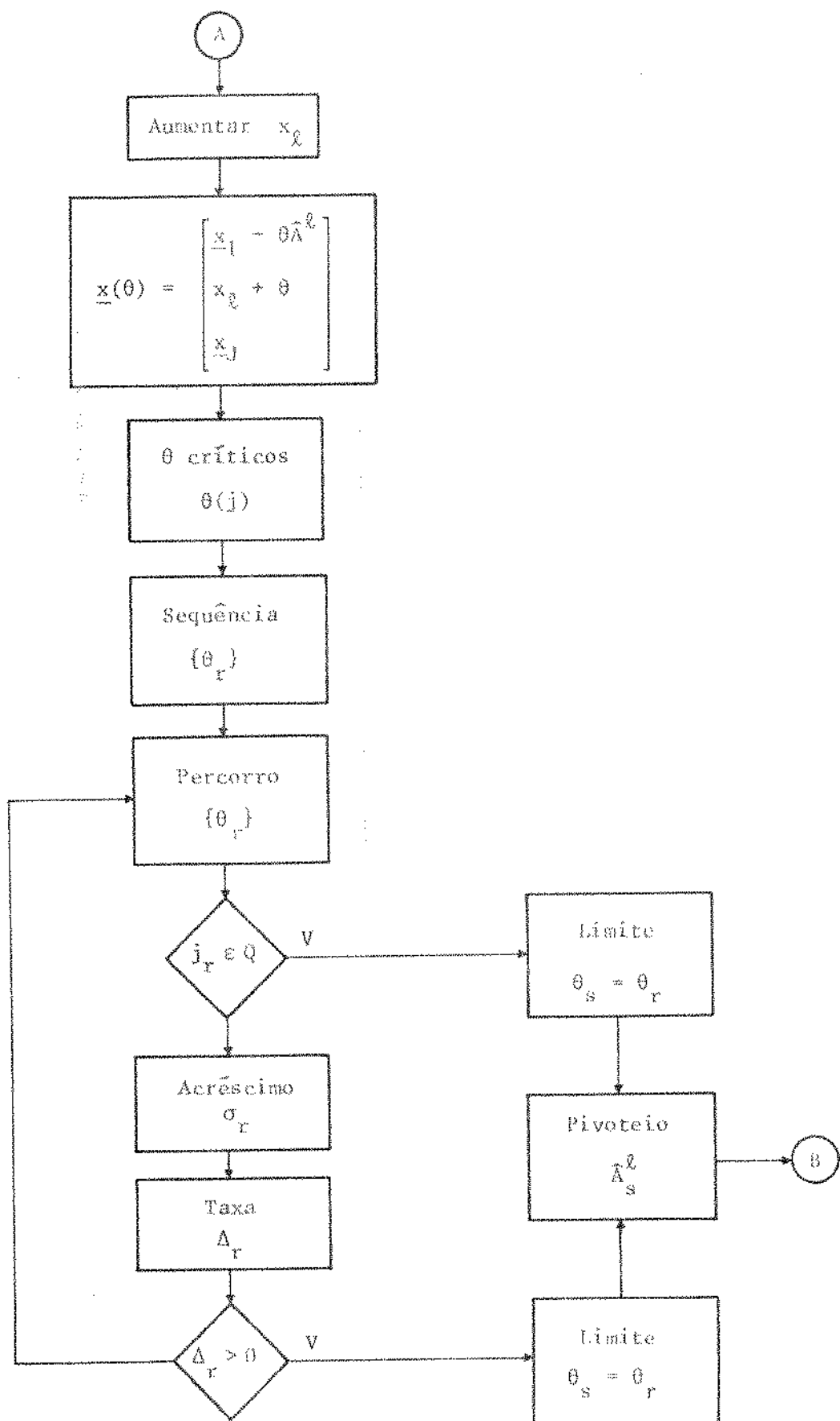
$$(*) \quad \sigma_r = 2e_j \operatorname{Sign}(\hat{A}_t^l) \hat{A}_t^l$$

$$(*) \quad \Delta_r = \Delta + \sum_{i=1}^r \sigma_i$$

(*) Expressão inalterada.

3.7 - Diagrama de Blocos





CAPÍTULO 4: ANÁLISE QUALITATIVA DE MÉTODOS ALTERNATIVOS

Fazemos uma abordagem dos métodos primal e dual-Simplex, relevando seus aspectos qualitativos, numa formulação voltada para a curva de optimidade.

4.1 - Introdução

Reapresentamos a curva de optimidade e estendemos da programação linear os conceitos de base, multiplicador associado a uma base e solução dual factível (LUENBERGER).

Na resolução do problema:

$$\text{MINIMIZAR } F(\underline{x}) = \sum_{j=1}^n f_j(x_j) \quad (P)$$

$$\text{s.a: } A\underline{x} = \underline{b}$$

$$\underline{\alpha} \leq \underline{x} \leq \underline{\beta}$$

- $A(m,n)$ de "rank" m , $f_j(x_j)$ convexa linear por partes.

Graficamente:

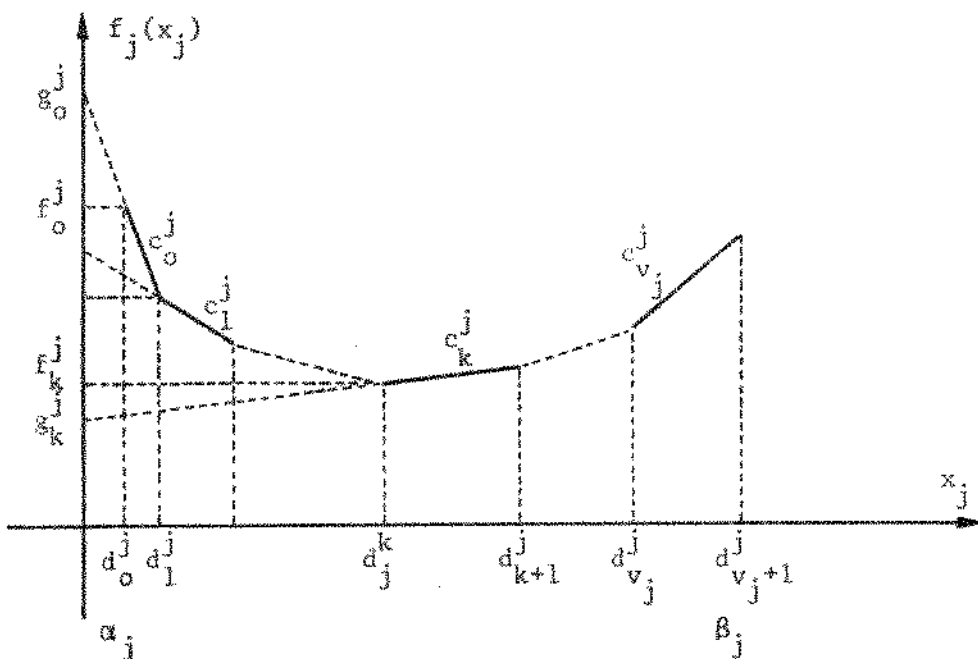


Figura 4.1

A otimalidade de uma solução é estabelecida pelo teorema (YUDINE):

Sendo \underline{x}^* solução factível de (P), \underline{x}^* é ótima de (P), se para alguma solução \underline{p}^* de (D), \underline{x}^* minimiza $L(\underline{x}, \underline{p}^*)$.

A minimização de $L(\underline{x}, \underline{p}^*)$ é separável por x_j . Assim a curva de otimalidade pode ser caracterizada como o lugar geométrico dos pontos (x_j^*, z_j) , onde para dado \underline{p} , sendo $z_j = pA_j$, x_j^* minimiza $(f_j(x_j) - z_j x_j)$ (Figura 4.2).

Os dois métodos em questão trabalham com soluções básicas. A idéia na utilização de soluções básicas é a de que se (P) tem uma solução factível ótima, ele tem uma solução básica factível ótima. Assim nos restringimos a análise das soluções básicas.

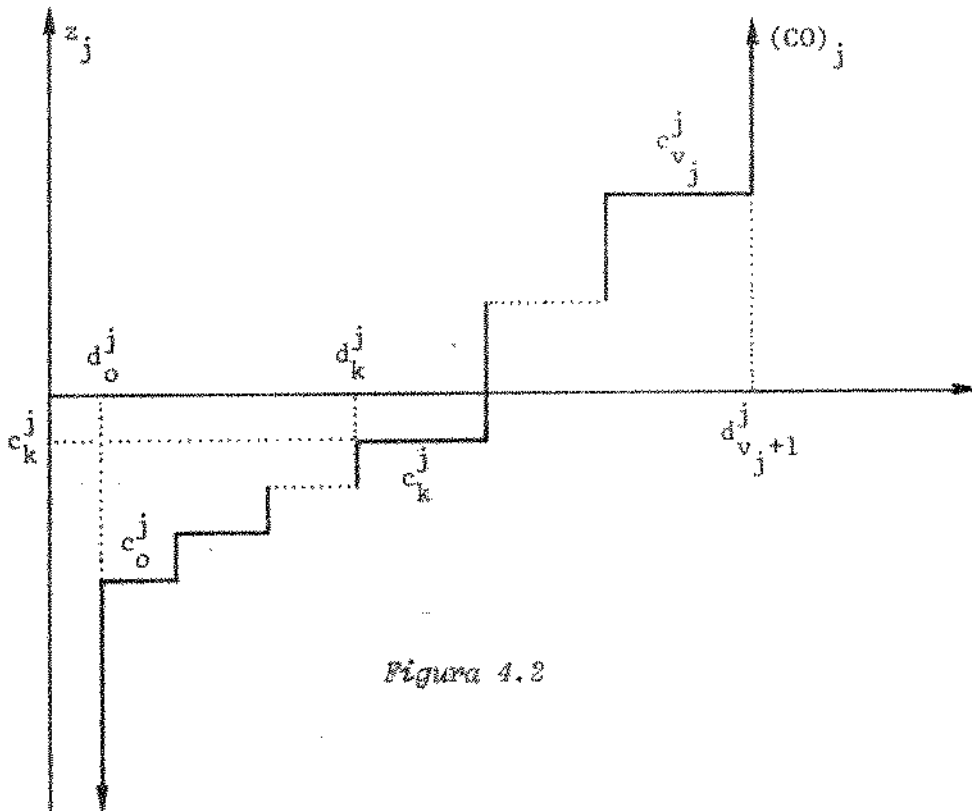


Figura 4.2

Na resolução do sistema linear $\underline{Ax} = \underline{b}$, com $A(m,n)$, $n > m$, dividimos as variáveis em básicas (I) e não básicas (J), fixando o valor de $(n - m)$ delas (x_J^*), em pontos críticos (d_k^J), de modo que as colunas da matriz A , correspondentes às m variáveis restantes (A^I), sejam linearmente independentes, obtendo:

$$x_J^* = d_k^J$$

$$\underline{x}_I^* = \underline{b} - \tilde{A}^J x_J^* \quad (4.1)$$

Sendo $\underline{b} = (A^I)^{-1} \underline{b}$, $\tilde{A}^J = (A^I)^{-1} A^J$.

Note que a uma mesma base correspondem várias soluções básicas. Se para algum $j \in I$, $x_J^* = d_k^J$, $k \in \{0, \dots, v_{j+1}\}$, a solução básica em questão é degenerada. Nesta análise só consideraremos soluções não degeneradas; idem $j \in J$, $z_j = c_k^J$, $k \in \{0, \dots, v_j\}$, degenerescência no dual.

Dizemos então, que as variáveis \underline{x}_I são dependentes das variáveis \underline{x}_J . Na minimização do Lagrangeano $L(\underline{x}, \underline{p})$, se queremos torná-lo "insensível" às variáveis \underline{x}_I nos respectivos intervalos, fazemos, para $j \in I$: $z_j = c_k^j$ ou

$$\underline{p}_k^I = \underline{c}_k^I \quad (4.2)$$

daf

$$\sum_{j \in I} (f_j(x_j) - z_j x_j) = g_k^j, \text{ constante}$$

Em programação linear, isto equivale a achar o vetor multiplicador que anule as componentes do vetor de custo relativo, correspondentes às variáveis básicas (\underline{c}_k^I).

Estendendo a definição de cada $f_j(x_j)$ para pontos fora do intervalo $[a_j, \beta_j]$, de maneira que para $x_j < a_j$ definimos $c_{-1}^j = c_0^j$ e para $x_j > \beta_j$ definimos $c_{v_j+1}^j = c_{v_j}^j$, o conceito de vetor multiplicador fica agora associado, não somente a uma base $\{I, J\}$, mas também a uma estrutura de intervalos \underline{k} , sendo os k fixados para cada $j \in I$, $k \in \{-1, 0, \dots, v_j+1\}$. Assim definimos:

$$\underline{p}_k^I = \underline{c}_k^I (\underline{A}^I)^{-1} \quad (4.3)$$

vetor multiplicador da base $\{I, J\}$ associado a uma estrutura \underline{k} .

Com relação à otimalidade de uma variável x_j , para dado \underline{p} , ela é assegurada se $(x_j^*, z_j^*) \in (CO)_j$. Considerando uma solução básica $(\underline{x}_I^*, \underline{x}_J^*)$, o vetor multiplicador \underline{p}_k^I (estrutura \underline{k}) fica bem definido (4.3). Sendo:

$$z_j^* = \underline{p}_k^I \underline{A}^I j$$

para cada $j \in I$ tal que $x_j \in [a_j, \beta_j]$, temos $(x_j^*, z_j^*) \in (CO)_j$, e considerando uma estrutura $\underline{\gamma}$ qualquer, de intervalos em I , com multiplicador \underline{p}_γ^I (4.3), tal que $\gamma \in \{0, \dots, v_j\}$, suponha que ocorre um dos casos:

$$- \underline{x}_I^* \in [\underline{\alpha}_I, \underline{\beta}_I] \quad e \quad (\underline{x}_J^*, z_J^*) \in (CO)_J \quad (4.5)$$

$$- \underline{x}_I^* \in [\underline{\alpha}_I, \underline{\beta}_I] \quad e \quad \text{existe } j \in J \text{ tq. } (\underline{x}_J^*, z_J^*) \notin (CO)_j \quad (4.6)$$

$$- \text{Existe } \underline{y} \text{ tq. } (\underline{x}_J^*, p_{\underline{y}}^{IA^J}) \in (CO)_J, \text{ e existe } j \in I \text{ tq. } (\underline{x}_J^*, p_{\underline{y}}^{JA^J}) \notin (CO)_j \quad (4.7)$$

$$- \text{Não existe } \underline{y} \text{ tq. } (\underline{x}_J^*, p_{\underline{y}}^{IA^J}) \in (CO)_J.$$

Desta maneira, relativamente a (P), $(\underline{x}_I^*, \underline{x}_J^*)$ tem respectivamente um dos aspectos:

- É básica, factível e ótima.
- É básica, factível e não ótima.
- Não necessariamente factível, corresponde à solução dual factível da programação linear, ou solução básica otimista (GARCIA).
- Nem factível, nem otimista.

4.2 - PLP - Primal Simplex

O método trabalha no problema primal com soluções básicas factíveis. Requer uma primeira fase de resolução que consiste na procura de uma solução básica factível de partida. Acrescentamos as variáveis artificiais (\underline{y}) e trabalhamos com o sistema aumentado:

$$\underline{A}\underline{x} + \underline{B}\underline{y} = \underline{b}$$

levando primeiramente as variáveis artificiais a zero.

Obtida uma solução básica factível, a partir daí, a cada iteração, verificamos, para as variáveis não básicas, se os (x_j, z_j) estão sobre as respectivas curvas de optimização. Se isto ocorre para todo $j \in J$, esta solução é ótima (4.5), caso contrário (4.6), escolhemos alguma não básica (x_k) tal que isto

não ocorra e a alteramos mantendo fixas as demais não básicas (procedimento Simplex). Em termos da base $\{I, J\}$, se x_ℓ ao parar o faz noutro ponto crítico, não houve mudança de base; se x_ℓ pára entre pontos críticos (d_k^ℓ, d_{k+1}^ℓ) , x_ℓ entra na base.

Suponha x_ℓ tal que $z_\ell > c_k^\ell$; temos que aumentar x_ℓ construindo uma nova solução básica factível associada a um valor menor de $F(\underline{x})$. Definimos:

$$\underline{x}_j(\theta) = \begin{cases} x_j + \theta \hat{A}_t^\ell & j \in I \\ x_\ell + \theta & \\ x_j & j \in J - \{\ell\} \end{cases}$$

onde t indica a posição de x_j na base I .

A restrição $A\underline{x} = b$ é satisfeita para θ arbitrário; desta maneira o limite para o crescimento de θ é determinado por um dos dois fatores:

- Alguma variável $x_j(\theta)$, $j \in I + \{\ell\}$, atingir um limite, $x_j(\theta) = \alpha_j$ ou β_j .
- A função objetivo parar de diminuir com o crescimento de θ .

Durante o crescimento de θ , as variáveis x_j , $j \in I + \{\ell\}$ passam por pontos críticos, mudando de intervalo; definimos então uma sequência $\{\theta_r\}$ de valores críticos de θ , de maneira que entre θ_r consecutivos, as variáveis estão percorrendo intervalos lineares, isto é, $F(\underline{x}(\theta))$ varia linearmente com θ . Assim:

$$F(\underline{x}(\theta)) - F(\underline{x}) = \theta(c_k^\ell - z_\ell) \quad (4.8)$$

$$F(\underline{x}(\theta)) - F(\underline{x}) = \theta(c_k^\ell - \underline{c}_k^I \hat{A}^\ell) \quad (4.9)$$

Sendo que a taxa de crescimento ($\Delta = c_k^\ell - z_\ell$), é negativa, e que a cada θ_r atingido ela sofre um acréscimo positivo (σ_r), quando esta se tornar não negativa, $F(\underline{x}(\theta))$ pára de diminuir.

Desta maneira Δ_r pode ser considerado como uma medida de otimalida de para x_k .

O vetor multiplicador da base $\{I, J\}$ é alterado cada vez que o θ_r atingido corresponde a uma variável básica, pois a estrutura k associada se altera. Desta maneira as variáveis básicas permanecem ótimas durante todo o processo. Com θ percorrendo $\{\theta_r\}$, representamos graficamente a "evolução" de (x_k, z_k) relativamente à curva de otimalidade:

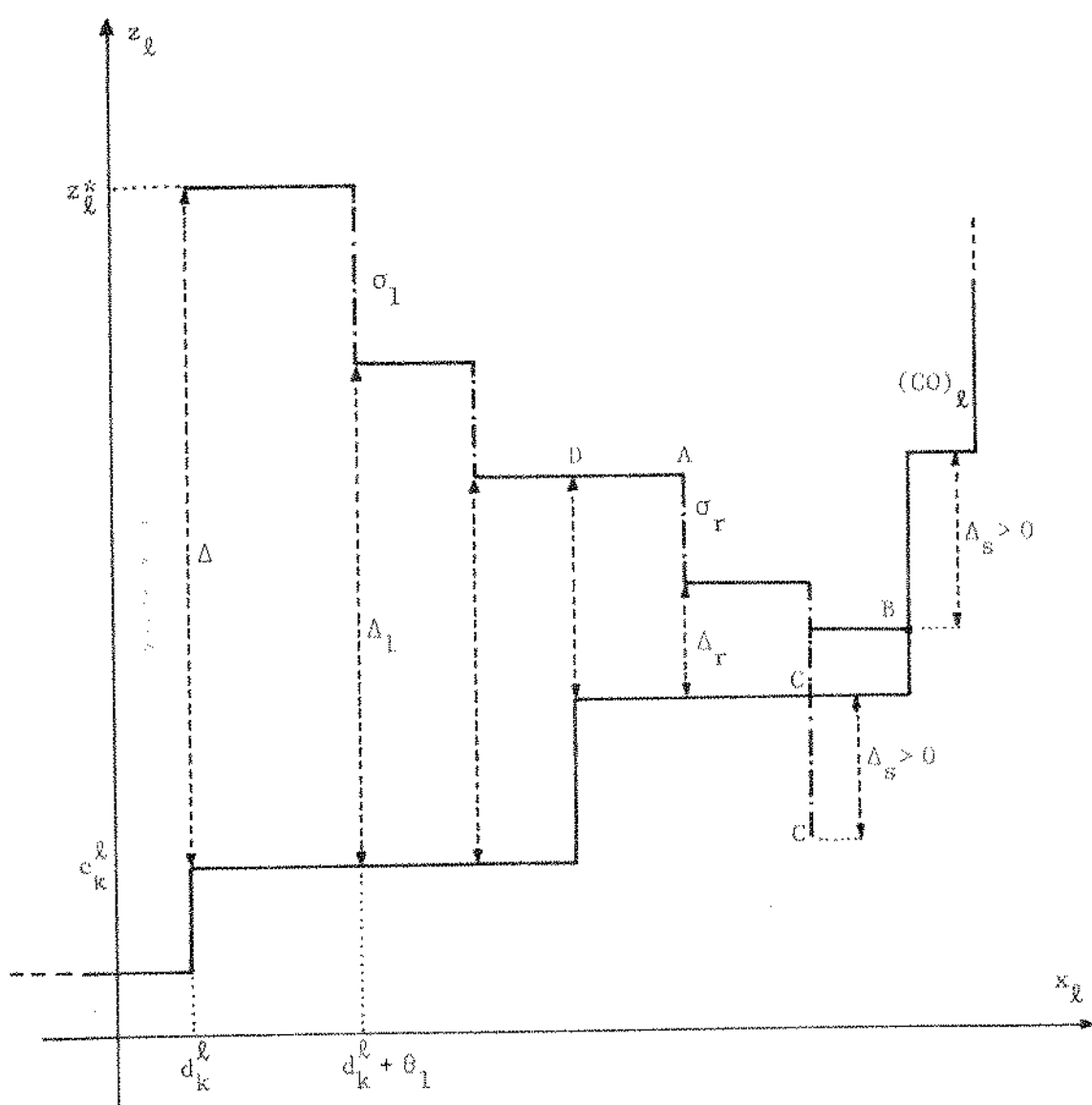


Figura 4.3

Da figura anterior ressaltamos os seguintes aspectos:

- (x_ℓ, z_ℓ) se movimenta de maneira contínua na horizontal em (θ_{r-1}, θ_r) , e a cada θ_r , z_ℓ (vertical) varia bruscamente de $|\sigma_r|$.

- Considerando a trajetória descrita por (x_ℓ, z_ℓ) , vemos que a área entre esta curva e a curva de otimalidade é o decréscimo em $F(\underline{x})$ nesta iteração.

- Com relação às situações A, B, C e D apresentadas:

A: Alguma variável $x_{jr}(\theta)$ atinge um limite e bloqueia o crescimento de θ . x_{jr} sai da base e x_ℓ entra ($x_{jr}(\theta) = \alpha_j$ ou β_j).

B: (x_ℓ, z_ℓ) atinge a curva de otimalidade $(CO)_\ell$. A base não se altera mas temos outra solução básica.

C: Para alguma variável x_{js} , Δ_s se torna não negativo. x_{js} sai da base e x_ℓ entra.

D: O vetor multiplicador p_k^I não se altera se o θ_r atingido corresponde a x_ℓ .

4.3 - PLP - Dual Simplex

O método dual Simplex pode ser caracterizado como um procedimento no problema primal (P), equivalente a aplicar o método primal Simplex no problema dual (D) (SIMONNARD). Trabalha com soluções básicas otimistas (4.7), e uma solução básica otimista de partida pode ser obtida da seguinte maneira:

- Escolho uma base I e uma estrutura $\underline{y} \in \{0, \dots, v_j\}$.

- Obtenho $\underline{p}_Y^I = \underline{c}_Y^I (\underline{A}^I)^{-1}$.

- Calculo $\underline{z}_J^* = \underline{p}_Y^I \underline{A}^J$.

- Para cada $j \in J$, com z_J^* , obtenho em $(CO)_j$ o x_j^* correspondente.

- Tenho então a solução básica otimista:

$$\underline{x}_J^* = \frac{d^J}{\underline{A}^J}$$

$$\underline{x}_I^* = \underline{b} - \underline{A}^J \underline{x}_J^*$$

A partir daí, a cada iteração, verificamos para as variáveis básicas se os (x_j^*, z_j^*) estão sobre as respectivas curvas de optimalidade $(CO)_j$. Se isto ocorre para todo $j \in I$, esta solução é ótima (4.5), caso contrário (4.7) escolhemos alguma variável básica (x_ℓ) tal que isto não ocorra e alteramos z_ℓ , mantendo fixas as demais componentes de \underline{x}_I (procedimento Simplex). Terminada a alteração em z_ℓ , em termos de base $\{I, J\}$, se x_ℓ está agora num ponto crítico, x_ℓ sai da base, caso contrário não há mudança de base.

Suponha $x_\ell < d_\gamma^\ell$, sendo $z_\ell^* = p_\gamma^I A_\ell^J$, temos que alterar p_γ^I construindo uma nova solução básica otimista, associada a um valor maior de $\phi(p)$. Definimos:

$$z_\ell(\theta) = z_\ell^* - \theta$$

$$z_j(\theta) = z_j^* \quad j \in I - \{\ell\}$$

Resulta a variação em p_γ^I :

$$p(\theta) = p_\gamma^I - \theta (A^I)_\ell^{-1} \quad (4.10)$$

onde crescemos θ até que $\phi(p)$ pára de crescer com θ .

A referência $z_j(\theta)$ das variáveis não básicas resulta em:

$$z_j(\theta) = p(\theta) A^j \quad j \in J \quad (4.11)$$

Durante o crescimento de θ , os z_j , $j \in J + \{l\}$, passam por pontos críticos determinados na curva de otimalidade pela mudança do correspondente x_j^* . Definimos então uma sequência $\{\theta_r\}$ de valores críticos de θ , de maneira que entre θ_r consecutivos $\phi(p)$ varia linearmente com θ . Assim:

$$\phi(p(\theta)) - \phi(p_Y^T) = \theta(d_Y^l - x_l^*)$$

Sendo que a taxa de crescimento ($\Delta = d_Y^l - x_l^*$), é positiva, e a cada θ_r atingido ela sofre um acréscimo negativo (σ_r); quando esta (Δ_r) se tornar não positiva, $\phi(p)$ pára de crescer.

Desta maneira Δ_r pode ser considerada como uma medida de factibilidade nesta iteração.

Cada vez que o θ_r atingido corresponde a uma variável não básica, o ponto crítico x_l^* é alterado de acordo com a curva de otimalidade de maneira que as variáveis não básicas permanecem ótimas durante todo o processo. Com θ percorrendo $\{\theta_r\}$, representamos graficamente a "evolução" de (x_l, z_l) relativamente à curva de otimalidade (figura 4.4).

Na figura 4.4 ressaltamos os seguintes aspectos:

- (x_l, z_l) se movimenta de maneira contínua na vertical em (θ_{r-1}, θ_r) e a cada θ_r , x_l (horizontal) varia bruscamente de $|\sigma_r|$.

- Considerando a trajetória descrita por (x_l, z_l) , vemos que a área entre esta curva e a curva de otimalidade é o acréscimo em $\phi(p)$ nesta iteração.

- Com relação às situações A, B e C apresentadas:

A: (x_l, z_l) atinge a curva de otimalidade $(CO)_l$, a base não se altera mas temos outra solução básica.

B: Para alguma variável z_{js} , Δ_s se torna não positiva. x_{js} entra na base e x_l sai.

C: x_l^* não se altera se o θ_r atingido corresponde a z_l .

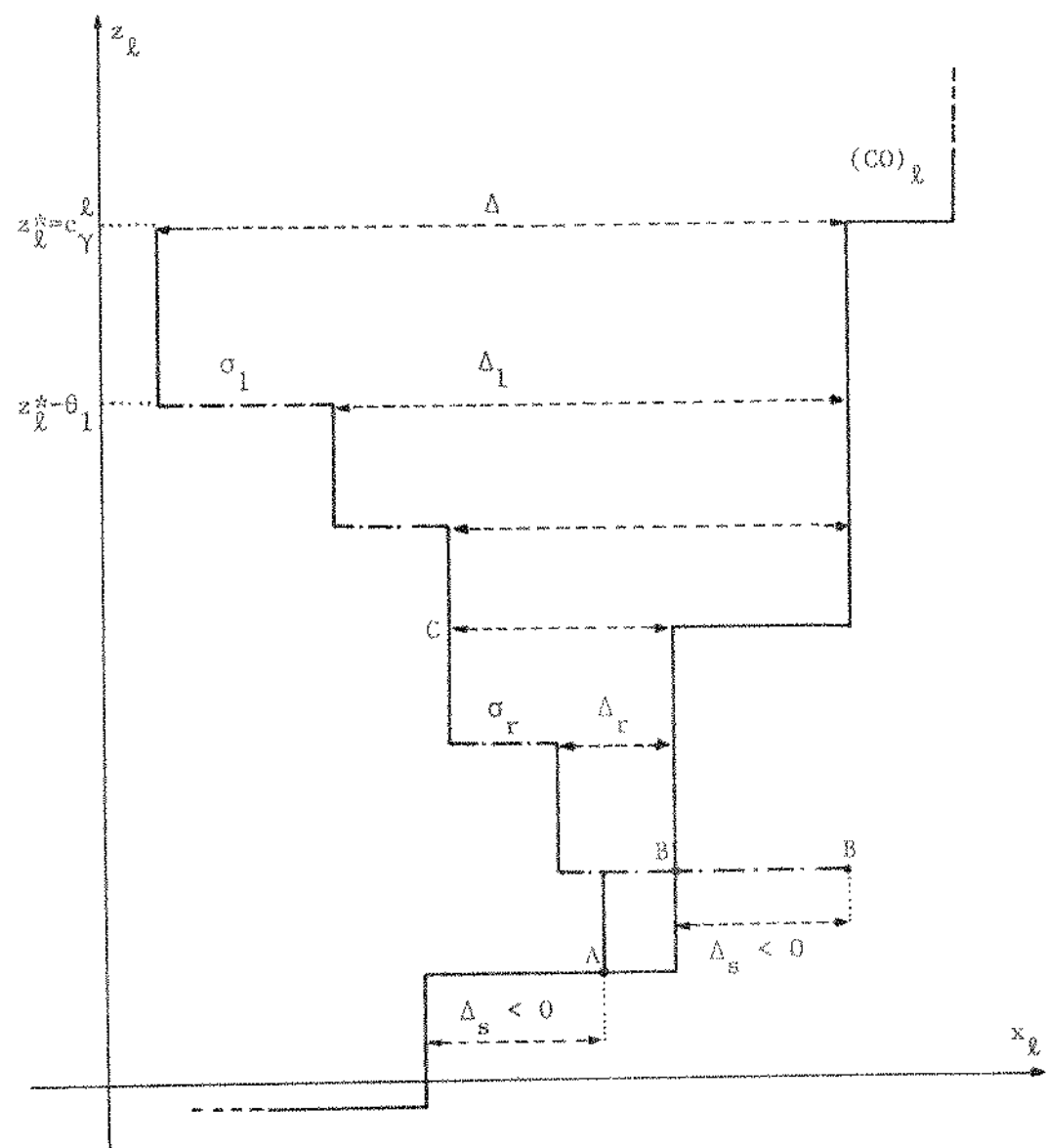


Figura 4.4

4.4 - Primal, Dual, Primal-Dual, Quadro Comparativo

Para os métodos primal-Simplex, dual-Simplex e Primal-Dual, usados na resolução do problema (P), fazemos uma quadro comparativo com alguns aspectos qualitativos relevantes. Foram considerados os seguintes aspectos:

INICIALIZAÇÃO:

O método Primal-Simplex, no caso geral, exige uma primeira fase de resolução, que consiste na procura de uma solução básica factível; isto requer, em média, tanto trabalho quanto a otimização propriamente dita. Esta fase inicial corresponde a um problema de minimização que trabalha no sistema aumentado $A\underline{x} + \underline{y} = \underline{b}$, penalizando as variáveis artificiais (\underline{y}). Temos então um método que antes de ser aplicado na resolução do problema (P), exige que o sistema $A\underline{x} = \underline{b}$ não seja redundante, isto é, $A(m,n)$ de "rank" m, e que encontremos uma solução básica que satisfaça $A\underline{x} = \underline{b}$ e $\underline{\alpha} < \underline{x} < \underline{\beta}$ ou detectemos que (P) é infactível.

O método dual Simplex exige uma fase inicial mais simples. Corresponde ao procedimento descrito no item 4.3 onde após m pivotamentos obtemos a solução básica otimista de partida ou detectamos redundância em $A\underline{x} = \underline{b}$. Note que a restrição $\underline{\alpha} < \underline{x} < \underline{\beta}$ é agora relaxada.

A inicialização do primal dual é trivial, pois trabalha no problema dual (irrestrito). A restrição $A\underline{x} = \underline{b}$ é relaxada. Assim o método não requer soluções factíveis nem básicas; resolve problemas com $A\underline{x} = \underline{b}$ redundante.

CAMINHO: Considerando que as soluções básicas são vértices no gráfico da função linear por partes e que temos arestas ligando vértices adjacentes, dizemos que os métodos primal Simplex e dual Simplex "caminham" nas arestas de $F(\underline{x})$ e $\phi(\underline{p})$ respectivamente. O método primal-dual caminha em $\phi(\underline{p})$ segundo a direção de máximo crescimento (\underline{u}^*).

FACTIBILIDADE: Consideramos as restrições que são satisfeitas no recurso da otimização.

OTIMALIDADE: Consideramos os pontos (\underline{x}_j, z_j) relativamente à curva de otimalidade $(CO)_j$. No caso do primal e dual Simplex seja $\{I, J\}$ a base.

ÓTIMO: Consideramos as condições que determinam o final da otimização, isto é, a solução ótima.

	Primal Simplex	Dual Simplex	Primal-Dual
Inicialização	Fase Inicial: Básica Factível	Fase Inicial: Básica Otimista	Trivial
Caminho	$F(\underline{x})$ Arestas	$\phi(\underline{p})$ Arestas	$\phi(\underline{p})$ Máximo Crescimento
Factibilidade	$A\underline{x} = \underline{b}$ $\underline{\alpha} \leq \underline{x} \leq \underline{\beta}$	$A\underline{x} = \underline{b}$	$\underline{\alpha} \leq \underline{x} \leq \underline{\beta}$
Otimalidade	$(\underline{x}_I, \underline{z}_I) \in (CO)_I$	$(\underline{x}_J, \underline{z}_J) \in (CO)_J$	$(\underline{x}_j, \underline{z}_j) \in (CO)_j$ $j = 1, n$
Ótimo	$(\underline{x}_J, \underline{z}_J) \in (CO)_J$	$(\underline{x}_I, \underline{z}_I) \in (CO)_I$	$A\underline{x} = \underline{b}$

APÊNDICE 1: (PAD) É O DUAL DE (PA)

Dado o problema (P):

$$\text{MINIM } F(\underline{x})$$

$$\text{s.a: } A\underline{x} = \underline{b}$$

$$\underline{x} \in \mathbb{R}$$

Definimos o seu problema dual como:

$$\text{MAXIM } \phi(\underline{u})$$

$$\text{s.a: } \underline{u} \in D$$

onde:

- \underline{u} , vetor de variáveis duais.
- $\phi(\underline{u}) = \text{MINIM } L(\underline{x}, \underline{u})$, função dual
 $\underline{x} \in \mathbb{R}$
- $D = \left\{ \underline{u}: \begin{array}{l} \text{MINIM } L(\underline{x}, \underline{u}) \text{ existe} \\ \underline{x} \in \mathbb{R} \end{array} \right\}$
- $L(\underline{x}, \underline{u}) = F(\underline{x}) + \underline{u}(\underline{b} - A\underline{x})$, função Lagrangeana associada a (P).

Assim, dado o problema (PA):

$$\text{MINIM } h(\underline{y}) = \sum_{j=1}^m e_j |y_j| , \quad e_j \geq 0$$

$$\text{s.a: } A^Q \underline{x}_Q + \underline{y} = \underline{b} - A^{\bar{Q}} \underline{d}_k^{\bar{Q}}$$

$$\underline{d}_k^Q \leq \underline{x}_Q \leq \underline{d}_{k+1}^Q$$

$$L(\underline{x}_Q, \underline{y}, \underline{u}) = \sum_{j=1}^m e_j |y_j| + \underline{u}(\underline{b} - A^{\bar{Q}} \underline{d}_k^{\bar{Q}} - A^Q \underline{x}_Q - \underline{y}) \quad (\text{A.1})$$

$$L(\underline{x}_Q, \underline{y}, \underline{u}) = \sum_{j=1}^m (e_j |y_j| - u_j y_j) + \underline{u}(\underline{b} - A^{\bar{Q}} \underline{d}_k^{\bar{Q}} - A^Q \underline{x}_Q) \quad (\text{A.2})$$

$$\phi(\underline{u}) = \underset{y_j}{\text{MINIM}} \quad \sum_{j=1}^m (e_j |y_j| - u_j y_j) + \quad (\text{A.3})$$

$$+ \underset{\substack{\underline{d}_k^Q \leq \underline{x}_Q \leq \underline{d}_{k+1}^Q}}{\text{MINIM}} \left\{ \underline{u}(\underline{b} - A^{\bar{Q}} \underline{d}_k^{\bar{Q}} - A^Q \underline{x}_Q) \right\} \quad (\text{A.4})$$

No cálculo de (A.3), resolvemos os problemas restritos:

$$\underset{y_j \geq 0}{\text{MINIM}} \quad \sum_{j=1}^m (e_j - u_j) y_j \quad (\text{A.5})$$

$$\underset{y_j \leq 0}{\text{MINIM}} \quad \sum_{j=1}^m -(e_j + u_j) y_j \quad (\text{A.6})$$

(A.5) e (A.6) assumem valor finito (zero) nos casos:

$$(e_j - u_j) \geq 0 \rightarrow u_j \leq e_j \quad (A.7)$$

$$(e_j + u_j) \geq 0 \rightarrow u_j \geq -e_j \quad (A.8)$$

(A.7) e (A.8) podem ser reunidos em:

$$|u_j| \leq e_j \quad (A.9)$$

Como a minimização (A.4) assume valor finito para qualquer \underline{u} , obtemos:

$$D = \{\underline{u}: |u_j| \leq e_j, j = 1, m\} \quad (A.10)$$

e sendo:

$$\|\underline{u}\| = \text{MINIM } \{t: -te \leq \underline{u} \leq te, e > 0, t > 0\} \quad (A.11)$$

$$D = \{\underline{u}: \|\underline{u}\| \leq 1\} \quad (A.12)$$

Resulta:

$$\phi(\underline{u}) = \text{MINIM}_{\frac{d_k}{d_k} \leq \underline{x}_Q \leq \frac{d_{k+1}}{d_{k+1}}} \left\{ \underline{u}(b - A^Q \underline{d}_k^Q - A^Q \underline{x}_Q) \right\} \quad (A.13)$$

e o problema dual (PAD):

$$\text{MAXIM}_{\underline{u}} \left\{ \text{MINIM}_{\underline{x}_Q} \left\{ \underline{u}(b - A^Q \underline{d}_k^Q - A^Q \underline{x}_Q) \right\} \right\}$$

$$\text{s.a: } \|\underline{u}\| = 1$$

$$\frac{d_k}{d_k} \leq \underline{x}_Q \leq \frac{d_{k+1}}{d_{k+1}}$$

Bibliografia

- BEALE, E.M.L. "An alternative method of linear programming" *Proceedings of the Cambridge Philosophical Society*, Vol.50, Part 4, 1954.
- DANTZIG, G.B.; FORD, L.R. and FULKERSON, D.R. "A primal-dual algorithm for linear programs" Editors: KUHN, H.W. and TUCKER, A.W. *Linear Inequalities and Related Systems - Annals of Mathematics Study*, No.58, Article 7, Princeton University Press, 1956.
- DANTZIG, G.B. *Applications et Prolongements de la Programmation Linéaire* Dunod, Paris, 1966.
- GARCIA, A.S. "Método dual-Simplex linear por partes" Tese de Mestrado, UNICAMP, IMEC, 1978.
- HADLEY, G. *Linear Programming* Addison Wesley, 1962.
- LASDON, L.S. *Optimization Theory for Large Systems* MacMillan, 1970.
- LUENBERGER, D.G. *Introduction to Linear and Nonlinear Programming* Addison Wesley, 1973.
- SAKAROVITCH, M. *Notes on Linear Programming* Van Nostrand, 1971.
- SIMONNARD, M. *Programmation Linéaire* Dunod, Paris, 1972.
- YOUDINE, D. et GOLSTEIN, E. *Problèmes Particuliers de la Programmation Linéaire* MIR, 1973.